

Figura 12.11: Curve di livello per il sistema di energia potenziale (61.18) per  $\alpha \geq \sqrt{2}$ .

tecniche variazionali; si veda [Hagedorn]. L'instabilità di punti di equilibrio che corrispondano a punti di sella dell'energia potenziale è stata dimostrata, prima nel caso di funzioni con parte "dominante" omogenea nel senso del teorema 58.13 (cfr. [Kozlov]), quindi nel caso generale (cfr. [Palamodov]), sotto l'assunzione di analiticità.

Per il §59, abbiamo seguito essenzialmente [Dell'Antonio, Cap. VII]. Per un'introduzione alla teoria delle biforcazioni si veda, per esempio, [Guckenheimer & Holmes, Chow & Hale, Kuznetsov].

## Esercizi

**Esercizio 1** Sia  $A$  una matrice simmetrica definita positiva. Si dimostri che esiste una matrice simmetrica definita positiva  $\alpha$  tale che  $A = \alpha^2$ . Chiameremo  $\alpha$  la *radice quadrata* della matrice  $A$ . [Soluzione. Poiché  $A$  è simmetrica, esiste una matrice diagonale  $D$  tale che  $A = UDU^{-1}$ , con  $U$  ortogonale (cfr. l'esercizio 42 del capitolo 1). Si definisca  $\alpha = U\sqrt{D}U^{-1}$ , dove  $\sqrt{D}$  è la matrice diagonale i cui elementi diagonali sono le radici quadrate degli elementi  $D_{ii}$  di  $D$ ; poiché  $A$  è definita positiva, si ha  $D_{ii} > 0$  e quindi  $\sqrt{D_{ii}}$  è ben definito. Risulta allora

$$\begin{aligned}\alpha^2 &= U\sqrt{D}U^{-1}U\sqrt{D}U^{-1} = U\sqrt{D}\sqrt{D}U^{-1} = UDU^{-1} = A, \\ \alpha^T &= (U\sqrt{D}U^{-1})^T = U\sqrt{D}U^{-1} = \alpha,\end{aligned}$$

poiché  $U^{-1} = U^T$ .]

**Esercizio 2** Sia  $A$  una matrice simmetrica  $n \times n$ . Si dimostri che se esiste  $\bar{x} \in \mathbb{R}^n$  tale che  $\langle \bar{x}, A\bar{x} \rangle < 0$  allora  $A$  ha almeno un autovalore negativo. [Soluzione. Poiché  $A$  è simmetrica i suoi autovalori  $\lambda_1, \dots, \lambda_n$  sono reali e i suoi autovettori  $v_1, \dots, v_n$  ortogonali (cfr. gli esercizi 38÷41 del capitolo 1). In

particolare gli autovettori costituiscono una base, quindi per ogni  $x \in \mathbb{R}^n$  esistono  $n$  numeri  $x_1, \dots, x_n$  tali che  $x = x_1 v_1 + \dots + x_n v_n$ , così che

$$\langle x, Ax \rangle = \sum_{i,j=1}^n x_i x_j \langle v_i, Av_j \rangle = \sum_{i,j=1}^n \lambda_j x_i x_j \langle v_i, v_j \rangle = \sum_{i=1}^n \lambda_i x_i^2 |v_i|^2.$$

Se gli autovalori di  $A$  sono tutti non negativi si ha  $\langle x, Ax \rangle \geq 0 \forall x \in \mathbb{R}^n$ , in contraddizione con l'ipotesi.]

**Esercizio 3** La definizione di funzione omogenea data a pag. 67 si estende a funzioni non definite nell'origine. La funzione  $f: \mathbb{R}^n \setminus \{0\} \rightarrow \mathbb{R}$  si dice *omogenea* di grado  $m \in \mathbb{N}$  se  $f(\lambda x) = \lambda^m f(x)$  per ogni  $\lambda > 0$  e per ogni  $x \in \mathbb{R}^n \setminus \{0\}$ . Sia  $f: \mathbb{R}^n \setminus \{0\}$  è una funzione continua omogenea di grado  $m$ . Si dimostri che

- se  $f$  è definita in  $x = 0$ , si ha  $f(0) = 0$ ,
- se  $f$  non è definita in  $x = 0$ , la si può estendere con continuità in  $x = 0$  ponendo  $f(0) = 0$ .

[*Suggerimento.* Per  $\lambda > 0$  si ha  $f(\lambda x) = \lambda^m f(x) \forall x \neq 0$ . Se  $f$  è definita in  $x = 0$ , si ha, per ogni  $y \neq 0$ ,

$$f(0) = \lim_{\lambda \rightarrow 0^+} f(\lambda y) = \lim_{\lambda \rightarrow 0^+} \lambda^m f(y) = 0.$$

Se  $f(x)$  non è definita in  $x = 0$ , ragionando allo stesso modo si trova che, fissato  $y \neq 0$ , il limite per  $\lambda \rightarrow 0^+$  di  $f(\lambda y) = \lambda^m f(y)$  è 0; d'altra parte  $\lambda y \rightarrow 0$  per  $\lambda \rightarrow 0^+$ , quindi, data l'arbitrarietà di  $y$ ,  $f(x) \rightarrow 0$  per  $x \rightarrow 0$  e quindi si può estendere per continuità  $f$  in  $x = 0$  definendo  $f(0) := 0$ . Un esempio di funzione omogenea ma non definita in  $x = 0$  è, per  $n = 2$ ,  $f(x) = f(x_1, x_2) = (x_1^3 + x_1^2 x_2)/(x_1^2 + x_2^2)$ .]

**Esercizio 4** Si dimostri che se  $f: \mathbb{R}^n \setminus \{0\} \rightarrow \mathbb{R}$  è una funzione differenziabile omogenea di grado  $m \in \mathbb{N}$  allora  $\langle \nabla f(x), x \rangle = m f(x)$ , dove  $\langle \cdot, \cdot \rangle$  è il prodotto scalare in  $\mathbb{R}^n$ . Tale risultato è noto come *teorema di Eulero sulle funzioni omogenee*. [*Soluzione.* Derivando rispetto a  $\lambda$  l'identità  $f(\lambda x) = \lambda^m f(x)$ , con  $\lambda > 0$ , si trova  $\langle \nabla f(\lambda x), x \rangle = m \lambda^{m-1} f(x)$ , che, per  $\lambda = 1$ , comporta l'asserto.]

**Esercizio 5** Si dimostri che se  $f$  è una funzione continua omogenea di grado  $m$  definita positiva allora esiste una costante  $c > 0$  tale che  $f(x) < -c|x|^m$  per ogni  $x \in \mathbb{R}^n \setminus \{0\}$ . [*Soluzione.* Dato  $x \in \mathbb{R}^n$  si definisca  $r := |x|$ . Se si scrive  $x = ry$ , dove  $|y| = 1$ , si ha  $y \in \partial B_1(0) = \{v \in \mathbb{R}^n : |v| = 1\}$  per costruzione. Si ha inoltre  $f(x) = r^m f(y)$ , poiché  $P$  è una funzione omogenea di grado  $m$ . Sia

$$M := \max_{y \in \partial B_1(0)} f(y).$$

Il massimo esiste per il teorema di Weierstrass e, poiché per ipotesi  $f(x) < 0 \forall x \in \mathbb{R}^n \setminus \{0\}$ , si ha  $M < 0$ . Se si pone  $c = -M > 0$ , risulta allora

$$f(x) = r^m f(y) \leq r^m M = -c r^m = -c|x|^m,$$

da cui segue l'asserto.]

**Esercizio 6** Sia  $R: \mathbb{R}^n \rightarrow \mathbb{R}$  una funzione differenziabile tale che  $R(q_0) = 0$ . Si dimostri l'implicazione

$$\lim_{q \rightarrow q_0} \frac{1}{|q - q_0|^{m-1}} \frac{\partial R}{\partial q}(q) = 0 \quad \implies \quad \lim_{q \rightarrow q_0} \frac{R(q)}{|q - q_0|^m} = 0.$$

[*Soluzione.* Per definizione di limite, per ogni  $\varepsilon > 0$  esiste  $\delta > 0$  tale che  $|\partial R/\partial q|(q) < \varepsilon|q - q_0|^{m-1}$  per ogni  $q$  tale che  $|q - q_0| < \delta$ . Si ha quindi, per  $|q - q_0| < \delta$ ,

$$\begin{aligned} |R(q)| &= |R(q) - R(q_0)| = \left| \int_0^1 dt \left\langle \frac{\partial R}{\partial q}(q_0 + t(q - q_0)), q - q_0 \right\rangle \right| \\ &\leq \int_0^1 dt \left| \frac{\partial R}{\partial q}(q_0 + t(q - q_0)) \right| |q - q_0| \leq \varepsilon |q - q_0|^{m-1} |q - q_0| = \varepsilon |q - q_0|^m, \end{aligned}$$

poiché  $|q + t(q - q_0)| \leq |q - q_0| \forall t \in [0, 1]$ . Da qui segue l'asserto.]

**Esercizio 7** Si dimostri che, se un punto materiale  $P$  di massa  $m$  è vincolato a muoversi in un piano  $\pi$  che ruoti con velocità  $\omega(t)$  intorno a un asse fisso, l'effetto delle forze apparenti si può descrivere in termini di un'energia potenziale centrifuga

$$V_{\text{cf}}(x, y) = -\frac{1}{2}m\omega^2(t)x^2,$$

dove  $(x, y)$  sono le coordinate del punto  $P$  nel piano  $\pi$ . Si discuta in particolare il caso in cui  $\omega(t) = \omega$  sia costante. [*Soluzione.* Il sistema solidale con il piano rotante è un sistema non inerziale, quindi bisogna tener conto delle forze apparenti (cfr. il teorema 35.3 del capitolo 8). La forza che agisce su un punto  $P$  del piano, di massa  $m$  e coordinate  $\mathbf{Q} = (x, y, 0)$ , è data da

$$\mathbf{F} - 2m[\boldsymbol{\Omega}, \dot{\mathbf{Q}}] - m[\dot{\boldsymbol{\Omega}}, \mathbf{Q}] - m[\boldsymbol{\Omega}, [\boldsymbol{\Omega}, \mathbf{Q}]],$$

dove  $\mathbf{F}$  è la forza attiva espressa nel sistema solidale e  $\boldsymbol{\Omega}$  è il vettore velocità angolare. Sia la forza  $-m[\boldsymbol{\Omega}, \mathbf{Q}]$  che la forza di Coriolis  $-2m[\boldsymbol{\Omega}, \dot{\mathbf{Q}}]$  sono ortogonali al piano rotante, quindi non agiscono sul moto; tendono ad allontanare il punto  $P$  dal piano  $\pi$  e sono pertanto controbilanciate dalla forza vincolare. La forza centrifuga  $-m[\boldsymbol{\Omega}, [\boldsymbol{\Omega}, \mathbf{Q}]]$ , espressa nelle coordinate del sistema rotante ha componente  $m\omega^2 x$  lungo l'asse  $x$  e componente nulla lungo l'asse  $y$ . Quindi se si definisce  $V_{\text{cf}}$  come nel testo dell'esercizio, si può interpretare la forza centrifuga come la forza corrispondente all'energia potenziale centrifuga  $V_{\text{cf}}$ . In particolare, se  $\omega$  è costante, anche  $\boldsymbol{\Omega}$  è costante (è un vettore diretto lungo l'asse verticale e di modulo costante  $\omega$ ), quindi  $\dot{\boldsymbol{\Omega}} = \mathbf{0}$ , e solo la forza di Coriolis deve essere compensata dalla forza vincolare.]

**Esercizio 8** Si consideri il sistema dinamico  $\dot{x} = \alpha x - x^3$  in  $\mathbb{R}$ . Si dimostri che per  $\alpha = 0$  si ha una biforcazione a forcone supercritica. [*Soluzione.* I punti di equilibrio sono  $x = 0$ , per ogni valore di  $\alpha$ , e  $x = \pm\sqrt{\alpha}$ , se  $\alpha > 0$ :  $x = 0$  è un punto di equilibrio stabile per  $\alpha \leq 0$  e instabile per  $\alpha > 0$ , mentre  $x = \pm\sqrt{\alpha}$  sono punti di equilibrio stabile quando esistono.]

**Esercizio 9** Si consideri il sistema dinamico  $\dot{x} = \alpha x + x^3$  in  $\mathbb{R}$ . Si dimostri che per  $\alpha = 0$  si ha una biforcazione a forcone subcritica. [*Soluzione.* I punti di equilibrio sono  $x = 0$ , per ogni valore di  $\alpha$ , e  $x = \pm\sqrt{-\alpha}$ , se  $\alpha < 0$ :  $x = 0$  è un punto di equilibrio stabile per  $\alpha < 0$  e instabile per  $\alpha > 0$ , mentre  $x = \pm\sqrt{-\alpha}$  sono punti di equilibrio instabili quando esistono.]

**Esercizio 10** Si dimostri che se  $A$  è una matrice definita positiva tutti i suoi elementi diagonali  $A_{ii}$  sono strettamente positivi. [*Soluzione.* Sia  $A$  una matrice  $n \times n$  definita positiva: si deve avere allora  $\langle x, Ax \rangle > 0$  per ogni  $x \neq 0$ . Prendendo  $x \in \mathbb{R}^n$  tale che  $x_j = \delta_{ij}$  si trova  $\langle x, Ax \rangle = A_{ii}$ , quindi  $A_{ii} > 0$ .]

**Esercizio 11** Si deduca la (59.5) dall'analisi del §31.

**Esercizio 12** Si dimostri che l'energia potenziale gravitazionale sulla superficie della Terra di un punto materiale di massa  $m$  è della forma  $U = mgy$ , se  $y$  è la coordinata del punto lungo l'asse verticale e  $g$  è l'accelerazione di gravità. [Soluzione. Si scelga un sistema di riferimento  $Oxyz$  in cui l'asse  $y$  sia l'asse verticale. La forza che agisce sul punto  $P$  di coordinate  $(x, y, z)$  è allora  $\mathbf{f}_{\text{gr}} = (0, -mg, 0)$  (cfr. l'osservazione 32.11). Definendo  $V_{\text{gr}}$  tale che

$$\mathbf{f}_{\text{gr}} = - \left( \frac{\partial V_{\text{gr}}}{\partial x}, \frac{\partial V_{\text{gr}}}{\partial y}, \frac{\partial V_{\text{gr}}}{\partial z} \right),$$

si trova  $V_{\text{gr}} = mgy$ . La forza  $\mathbf{f}_{\text{gr}}$  è comunemente chiamata *forza di gravità* o *forza peso* (cfr. di nuovo l'osservazione 32.11).]

**Esercizio 13** Siano  $P_1$  e  $P_2$  due punti materiali collegati da una molla con costante elastica  $k$  e lunghezza a riposo nulla (o trascurabile). Con questo si intende che la forza d'interazione tra i punti è una forza elastica, cioè proporzionale alla distanza tra i due punti, con costante di proporzionalità  $k$ , attrattiva e diretta lungo la retta che congiunge i due punti. Si dimostri che l'energia potenziale elastica corrispondente è data da

$$V_{\text{el}} = \frac{1}{2}k|\mathbf{q}_1 - \mathbf{q}_2|^2 = \frac{1}{2}k\left((x_1 - x_2)^2 + (y_1 - y_2)^2 + (z_1 - z_2)^2\right),$$

se  $\mathbf{q}_1 = (x_1, y_1, z_1)$  e  $\mathbf{q}_2 = (x_2, y_2, z_2)$  sono le coordinate dei punti  $P_1$  e  $P_2$ , rispettivamente. [Soluzione. La forza  $\mathbf{f}_1$  che agisce sul punto  $P_1$  è diretta lungo la retta congiungente i due punti, nel verso dal punto  $P_2$  al punto  $P_1$ , essendo una forza attrattiva. È una forza lineare: il suo modulo è proporzionale alla distanza  $|\mathbf{q}_1 - \mathbf{q}_2|$  tra i due punti, con costante di proporzionalità  $k$ . La forza che agisce sul punto  $P_2$  è data da  $\mathbf{f}_2 = -\mathbf{f}_1$ , per il principio di azione e reazione. Quindi si ha

$$\mathbf{f}_1 = -k(\mathbf{q}_1 - \mathbf{q}_2) = -k(x_1 - x_2, y_1 - y_2, z_1 - z_2), \quad \mathbf{f}_2 = k(\mathbf{q}_1 - \mathbf{q}_2).$$

Richiedendo che sia

$$\mathbf{f}_1 = -\frac{\partial V_{\text{el}}}{\partial \mathbf{q}_1} := - \left( \frac{\partial V_{\text{el}}}{\partial x_1}, \frac{\partial V_{\text{el}}}{\partial y_1}, \frac{\partial V_{\text{el}}}{\partial z_1} \right),$$

si ottiene il risultato.]

**Esercizio 14** Si discuta come cambia la discussione dell'esercizio 13 nel caso in cui la molla abbia lunghezza a riposo  $d_0 > 0$ . [Soluzione. Le forze  $\mathbf{f}_1$  e  $\mathbf{f}_2$  che agiscono sui punti  $P_1$  e  $P_2$  sono dirette ancora lungo la retta congiungente i due punti, i.e. lungo il versore  $(\mathbf{q}_1 - \mathbf{q}_2)/|\mathbf{q}_1 - \mathbf{q}_2|$ ; inoltre sono attrattive quando la distanza tra i punti è maggiore di  $d_0$  e repulsive altrimenti. D'altra parte, poiché le forze sono lineari, si ha  $|\mathbf{f}_1| = |\mathbf{f}_2| = k||\mathbf{q}_1 - \mathbf{q}_2| - d_0|$ , quindi, imponendo di nuovo,

$$\mathbf{f}_1 = -\frac{\partial V_{\text{el}}}{\partial \mathbf{q}_1}, \quad \mathbf{f}_2 = -\frac{\partial V_{\text{el}}}{\partial \mathbf{q}_2},$$

si trova

$$V_{\text{el}} = \frac{1}{2}k(|\mathbf{q}_1 - \mathbf{q}_2| - d_0)^2.$$

Ovviamente per  $d_0 = 0$  ritroviamo l'espressione dell'esercizio 13.]

**Esercizio 15** Si dimostri che nel caso (4) dell'esempio del §60 l'energia potenziale è data dalla (60.16). [Suggerimento. Si ragiona come nell'esercizio 7.]

**Esercizio 16** Si dimostri che nel caso (2) dell'esempio del §61 l'energia potenziale è data dalla (61.7). [Soluzione. Si ragiona come per l'esercizio 7.]

**Esercizio 17** Si deduca la (61.16) a partire dall'energia potenziale (61.13).

**Esercizio 18** Si dimostri che le forze apparenti non contribuiscono alla (61.17). [Soluzione. Segue direttamente dalla discussione dell'esercizio 7, notando che se  $\mathbf{Q}$  individua il punto  $P_0$  allora i vettori  $\mathbf{\Omega}$ ,  $\mathbf{Q}$ ,  $\dot{\mathbf{Q}}$  sono paralleli e ricordando che il prodotto vettoriale di vettori paralleli è nullo.]

**Esercizio 19** Si determinino le configurazioni di equilibrio del sistema lagrangiano dell'esercizio 59 del capitolo 11.

**Esercizio 20** Due punti materiali  $P_1$  e  $P_2$  interagiscono attraverso una forza centrale (cfr. il §31.1) la cui intensità è proporzionale a  $(d(P_1, P_2))^b$ ,  $b \neq -1$ , dove  $d(P_1, P_2)$  è la distanza tra i due punti. Si calcoli l'energia potenziale del sistema. [Soluzione. Siano  $\mathbf{q}_1 = (x_1, y_1, z_1)$  e  $\mathbf{q}_2 = (x_2, y_2, z_2)$  le coordinate dei punti  $P_1$  e  $P_2$ . La forza che agisce sul punto  $P_1$  è data da

$$\begin{aligned} \mathbf{f}_1 &= a |\mathbf{q}_1 - \mathbf{q}_2|^b \frac{\mathbf{q}_1 - \mathbf{q}_2}{|\mathbf{q}_1 - \mathbf{q}_2|} \\ &= a ((x_1 - x_2)^2 + (y_1 - y_2)^2 + (z_1 - z_2)^2)^{(b-1)/2} (x_1 - x_2, y_1 - y_2, z_1 - z_2), \end{aligned}$$

dove la costante di proporzionalità  $a$  è positiva se la forza è repulsiva e negativa se la forza è attrattiva, mentre la forza che agisce sul punto  $P_2$  è data da  $\mathbf{f}_2 = -\mathbf{f}_1$ . Definendo  $V = V(\mathbf{q}_1, \mathbf{q}_2)$  in modo che  $\mathbf{f}_1 = -\partial V / \partial \mathbf{q}_1$  e  $\mathbf{f}_2 = -\partial V / \partial \mathbf{q}_2$ , si trova

$$V(\mathbf{q}_1, \mathbf{q}_2) = -\frac{a}{b+1} |\mathbf{q}_1 - \mathbf{q}_2|^{b+1} = -\frac{a}{b+1} ((x_1 - x_2)^2 + (y_1 - y_2)^2 + (z_1 - z_2)^2)^{(b+1)/2}.$$

In particolare, se  $a = -k$ , con  $k > 0$ , e  $b = -2$ , abbiamo

$$V(\mathbf{q}_1, \mathbf{q}_2) = -\frac{k}{|\mathbf{q}_1 - \mathbf{q}_2|} = -\frac{k}{\sqrt{(x_1 - x_2)^2 + (y_1 - y_2)^2 + (z_1 - z_2)^2}},$$

che è l'energia potenziale gravitazionale studiata al §32.]

**Esercizio 21** Con le notazioni dell'esercizio 20 si discuta il caso  $b = -1$ .

**Esercizio 22** Un sistema meccanico è costituito da tre punti  $P_1$ ,  $P_2$  e  $P_3$ , di massa  $m_1 = m_2 = m_3 = 1$ . I punti  $P_1$  e  $P_2$  sono vincolati a muoversi lungo una retta orizzontale (che si può identificare con l'asse  $x$ ), mentre il punto  $P_3$  si muove lungo una retta verticale (che si può identificare con l'asse  $y$ ). Tra i punti  $P_1$  e  $P_2$  agiscono due forze conservative repulsive, di modulo, rispettivamente,  $\alpha d^{-2}(P_1, P_2)$  e  $\beta d^4(P_1, P_2)$ , se  $d(P_1, P_2)$  è la distanza tra i punti  $P_1$  e  $P_2$  e  $\alpha, \beta$  sono costanti positive. Il punto  $P_3$  è collegato ai punti  $P_1$  e  $P_2$  tramite due molle, entambe di costante elastica  $k > 0$  e lunghezza a riposo nulla. Sia  $g$  l'accelerazione di gravità (cfr. la figura 12.12).

(1) Si scrivano la lagrangiana del sistema e le corrispondenti equazioni di Eulero-Lagrange, utilizzando come coordinate lagrangiane le coordinate  $x_1, x_2, y$  tali che  $P_1 = (x_1, 0)$ ,  $P_2 = (x_2, 0)$  e  $P_3 = (0, y)$ .

- (2) Si determinino le configurazioni di equilibrio e se ne discuta la stabilità al variare di  $\alpha$ ,  $\beta$ ,  $k$ ,  $g$ .  
 (3) Si discuta in particolare il caso in cui sia  $\alpha = \beta = 1$  e  $k = 5$ , e si determini la forza vincolare che agisce sul punto  $P_1$  in corrispondenza della configurazione di equilibrio stabile risultante.

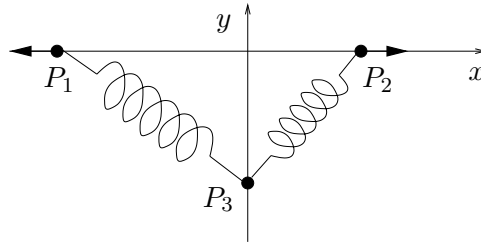


Figura 12.12: Sistema discusso nell'esercizio 22.

[*Suggerimento.* L'energia potenziale relativa alle due forze repulsive si può determinare utilizzando l'esercizio 20 oppure, imponendo fin dall'inizio il vincolo che i punti  $P_1$  e  $P_2$  si muovono lungo l'asse  $x$ , ragionando come segue. Siano  $x_1$  e  $x_2$  le coordinate dei punti  $P_1$  e  $P_2$ , rispettivamente. Se  $x_1 > x_2$  le forze repulsive che agiscono sul punto  $P_1$  sono date da

$$f_1 = \frac{\alpha}{(x_1 - x_2)^2} + \beta(x_1 - x_2)^4,$$

dove si è tenuto conto che la forza è positiva perché punta dal punto  $P_2$  al punto  $P_1$ , così che, se scriviamo  $f_1 = -\partial V_{\text{rep}}/\partial x_1$ , troviamo

$$V_{\text{rep}} = V_{\text{rep}}(x_1, x_2) = \frac{\alpha}{x_1 - x_2} - \frac{1}{5}\beta(x_1 - x_2)^5.$$

Analogamente, se  $x_1 < x_2$ , si trova

$$f_1 = -\frac{\alpha}{(x_1 - x_2)^2} - \beta(x_1 - x_2)^4 \quad \implies \quad V_{\text{rep}}(x_1, x_2) = -\frac{\alpha}{x_1 - x_2} + \frac{1}{5}\beta(x_1 - x_2)^5.$$

Possiamo scrivere l'energia potenziale come un'unica espressione nella forma

$$V_{\text{rep}}(x_1, x_2) = \frac{\alpha}{|x_1 - x_2|} - \frac{1}{5}\beta|x_1 - x_2|^5,$$

valida sia per  $x_1 > x_2$  sia per  $x_1 < x_2$ ; si noti che la funzione  $V_{\text{rep}}(x_1, x_2)$  è  $C^\infty$  per ogni  $x_1 \neq x_2$ .]

**Esercizio 23** Si consideri un sistema rigido continuo  $(\mathcal{C}, \rho)$ , dove  $\mathcal{C} \subset \mathbb{R}^3$  e  $\rho(\mathbf{x})$  è la densità di massa. Su ogni elemento infinitesimo di coordinate  $\mathbf{x}$  e di massa  $dm(\mathbf{x}) := \rho(\mathbf{x}) d\mathbf{x}$  del sistema interagisce una forza conservativa  $\mathbf{f}(\mathbf{x}) = dm(\mathbf{x}) \boldsymbol{\varphi}(\mathbf{x})$ , per qualche funzione  $\boldsymbol{\varphi}: \mathbb{R}^3 \rightarrow \mathbb{R}^3$ . Si determini l'energia potenziale del sistema. In particolare si discuta il caso in cui il sistema rigido sia omogeneo. [*Soluzione.* Per ogni punto elemento infinitesimo si può definire una *densità di energia potenziale*  $u(\mathbf{x})$  scrivendo

$$\boldsymbol{\varphi}(\mathbf{x}) = -\frac{\partial}{\partial \mathbf{x}} u(\mathbf{x}).$$

L'energia potenziale del sistema rigido è allora data da

$$V = \int_{\mathcal{C}} d\mathbf{x} \rho(\mathbf{x}) u(\mathbf{x}).$$

Se il sistema rigido  $(\mathcal{C}, \rho)$  è omogeneo allora  $\rho(\mathbf{x})$  è costante e quindi  $\rho(\mathbf{x}) = m/|\mathcal{C}|$ , se  $m$  e  $|\mathcal{C}|$  sono, rispettivamente, la massa e il volume del sistema.

**Esercizio 24** Un sistema meccanico è costituito da tre punti  $P_1$ ,  $P_2$  e  $Q$ , di masse, rispettivamente,  $m_1 = m_2 = m$  e  $m_3 = 2m$ , vincolati su un piano verticale  $\pi$ . I due punti  $P_1$  e  $P_2$  si muovono lungo un asse orizzontale (che si può identificare con l'asse  $x$ ) e sono entrambi collegati a  $Q$  tramite due sbarre rettilinee di lunghezza  $L$  e massa trascurabile. Il punto  $P_1$  è collegato a un punto fisso  $O$  dell'asse lungo cui scorre tramite una molla di costante elastica  $k$  e lunghezza a riposo nulla. Sia  $g$  l'accelerazione di gravità (cfr. la figura 12.13).

(1) Si scrivano la lagrangiana del sistema e le corrispondenti equazioni di Eulero-Lagrange, utilizzando come coordinate lagrangiane l'ascissa  $x$  del punto  $Q$  lungo l'asse orizzontale e l'angolo  $\theta$  che la retta passante per i punti  $P_1$  e  $Q$  forma con tale asse.

(2) Si determinino le configurazioni di equilibrio e se ne discuta la stabilità.

(3) Per  $k = 0$  si discuta qualitativamente il moto.

(4) Sempre per  $k = 0$ , partendo dalla configurazione iniziale

$$x(0) = 0, \quad \dot{x}(0) = 0, \quad \theta(0) = 0, \quad \dot{\theta}(0) = 0,$$

si descriva qualitativamente il moto e si determini la forza vincolare nel punto  $Q$  in funzione del tempo, in particolare quando tale punto si trova a quota  $L/\sqrt{2}$  al di sotto dell'asse  $x$ .

(5) Si discuta come si modifica la trattazione se entrambe le sbarre hanno massa  $M$  e sono omogenee.

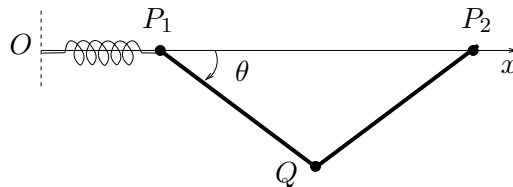


Figura 12.13: Sistema discusso nell'esercizio 24.

[Suggerimento. Se  $x_1$  e  $x_2$  indicano le coordinate lungo l'asse  $x$  dei punti  $P_1$  e  $P_2$ , rispettivamente, risulta  $x_1 = x - L \cos \theta$  e  $x_2 = x \pm L \cos \theta$ , se  $\theta$  è calcolato come in figura 12.13; inoltre l'ordinata del punto  $Q$  vale  $y = -L \sin \theta$ . I due casi per  $x_2$  vanno discussi separatamente: una volta fissati i dati iniziali, la scelta del segno  $\pm$  è determinata in modo univoco. Consideriamo esplicitamente il caso  $x_2 = x + L \cos \theta$  (nel caso  $x_2 = x - L \cos \theta$  si ragiona in modo analogo). Nel caso in cui le sbarre abbiano massa trascurabile, la lagrangiana è

$$\mathcal{L} = T - V, \quad T = m(2\dot{x}^2 + L^2\dot{\theta}^2), \quad V = k \left( \frac{x^2}{2} + \frac{L^2 \cos^2 \theta}{2} - Lx \cos \theta \right) - 2mgL \sin \theta,$$

così che le equazioni di Eulero-Lagrange sono

$$\begin{cases} 4m\ddot{x} = -kx + kL \cos \theta, \\ 2mL^2\ddot{\theta} = 2mgL \cos \theta - kLx \sin \theta + kL^2 \sin \theta \cos \theta. \end{cases}$$

Si hanno configurazioni di equilibrio per  $\cos \theta = 0$  e  $x = L \cos \theta = 0$ , quindi per  $\theta = \pm\pi/2$  e  $x = 0$ . Calcolando la matrice hessiana, si trova che  $(x, \theta) = (0, \pi/2)$  è stabile, mentre  $(x, \theta) = (0, -\pi/2)$  è instabile. Per  $k = 0$  (i.e. in assenza di molla), si trova  $\ddot{x} = 0$  e  $L\ddot{\theta} = g \cos \theta$ , quindi il centro di massa del sistema si muove di moto rettilineo uniforme, mentre l'equazione per la variabile  $\theta$  descrive un moto unidimensionale di un punto di massa  $m = 1$  ed energia potenziale  $V = \alpha \sin \theta$ , con  $\alpha := g/L$ ; nel sistema del centro di massa, il sistema descrive un moto simile a quello di un pendolo semplice. Sempre per  $k = 0$ , considerando il moto che parte dalla configurazione al punto (4), la forza vincolare che agisce sul punto  $Q$  è data da

$$R^{(Q)} = (2m\ddot{x} - f_x^{(Q)}, 2m\ddot{y} - f_y^{(Q)}),$$

dove  $\ddot{x} = 0$ ,  $\ddot{y} = L\dot{\theta}^2 \sin \theta - L \cos \theta \ddot{\theta}$ ,  $f_x^{(Q)} = 0$  e  $f_y^{(Q)} = -2mg$ , così che

$$R^{(Q)} = \left(0, 2m \left(L\dot{\theta}^2 \sin \theta + g \cos^2 \theta + g\right)\right) = \left(0, 2mg (\cos^2 \theta - 2 \sin^2 \theta + 1)\right),$$

dove si è usato che l'energia totale per il moto della variabile  $\theta$  è  $E(\theta, \dot{\theta}) = 0$  in corrispondenza dei dati iniziali scelti. In particolare, quando  $Q$  si trova a quota  $L/\sqrt{2}$ , si ha  $\theta = \pi/4$  e quindi la forza vincolare è  $R^{(Q)} = (0, 0)$ . Se le due sbarre hanno massa  $M$ , l'energia cinetica delle sbarre può essere calcolata utilizzando il teorema di König (teorema 39.2); il centro di massa  $C_1$  della sbarra che connette i punti  $P_1$  e  $Q$  ha coordinate  $C_1 = (x - (L/2) \cos \theta, -(L/2) \sin \theta)$ , quindi l'energia cinetica della sbarra è

$$T_1 = \frac{1}{2}M \left(\dot{x}^2 + \frac{L^2}{4}\dot{\theta}^2 + L \sin \theta \dot{x}\dot{\theta}\right) + \frac{1}{2}I_1\dot{\theta}^2,$$

dove il momento d'inerzia  $I_1 = ML^2/12$  è calcolato in §45.1. L'energia potenziale gravitazionale si può calcolare procedendo come indicato nell'esercizio 23: si ha

$$V_1 = - \int_0^L du \frac{M}{L} gu \sin \theta = -Mg \frac{L}{2} \sin \theta,$$

dove si è tenuto conto che la densità di massa  $M/L$  è costante, essendo la sbarra omogenea. Allo stesso modo si tratta la sbarra che connette i punti  $P_2$  e  $Q$ . In conclusione la lagrangiana è

$$\mathcal{L} = (2m + M) \dot{x}^2 + \left(m + \frac{M}{3}\right) L^2 \dot{\theta}^2 - \frac{1}{2}k (x - L \cos \theta)^2 + (2m + M) gL \sin \theta$$

e può essere discussa analogamente al caso  $M = 0$ .]

**Esercizio 25** Un sistema meccanico è costituito da una sbarra omogenea di massa  $m$ , di lunghezza  $\ell$  e di sezione trascurabile. Un estremo della sbarra è incernierato in un punto  $Q$  di un'asta, anch'essa di sezione trascurabile, che ruota con velocità angolare  $\omega(t)$ ; in pratica la sbarra è vincolata a muoversi in un piano che ruota con velocità angolare  $\omega(t)$  intorno all'asse verticale. Sia  $g$  l'accelerazione di gravità (cfr. la figura 12.14).

- (1) Si scrivano la lagrangiana del sistema e le corrispondenti equazioni di Eulero-Lagrange.
- (2) Se  $\omega(t) = \omega$  è costante, si verifichi che, nel sistema di riferimento solidale con il piano  $\pi$  che ruota intorno all'asta verticale con velocità angolare  $\omega$ , il sistema ammette configurazioni di equilibrio relativo e se ne discuta la stabilità al variare dei parametri  $\omega, g, \ell, m$ .



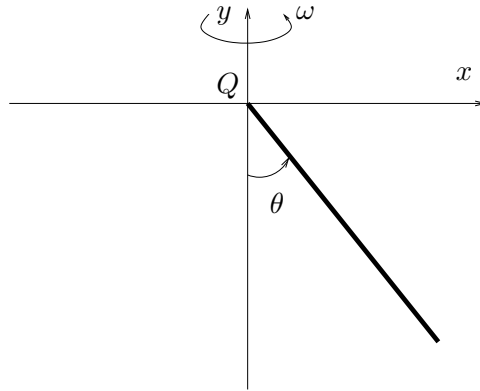


Figura 12.14: Sistema discusso nell'esercizio 25.

[Suggerimento. Fissiamo un sistema di coordinate  $Oxyz$ , in cui l'asse  $e_y$  sia diretto lungo la verticale e gli assi  $e_x$  e  $e_z$  siano ad esso ortogonali; siano  $\theta$  l'angolo che la sbarra forma con l'asse  $e_y$  e  $\varphi$  l'angolo che la sua proiezione sul piano  $xz$  forma, per esempio con l'asse  $e_x$ . Per calcolare l'energia cinetica della sbarra possiamo procedere in due modi:

1. Dividiamo la sbarra in elementi lineari infinitesimi di massa  $dm(\mathbf{x}) = \rho du$ , con densità di massa  $\rho = m/\ell$  e  $u \in [0, \ell]$ . Ogni elemento ha coordinate  $\mathbf{x} = (u \sin \theta \cos \varphi, -u \cos \theta, u \sin \theta \sin \varphi)$ . L'energia cinetica della sbarra si ottiene integrando sugli elementi infinitesimi, i.e.

$$T = \int_0^\ell dm(\mathbf{x}) |\dot{\mathbf{x}}|^2 = \frac{m}{\ell} \int_0^\ell du u^2 (\dot{\varphi}^2 \sin^2 \theta + \dot{\theta}^2) = \frac{1}{6} m \ell^2 (\dot{\varphi}^2 \sin^2 \theta + \dot{\theta}^2).$$

2. In alternativa, possiamo applicare il teorema di König. Sia

$$\mathbf{x}_0 = \left( \frac{\ell}{2} \sin \theta \cos \varphi, -\frac{\ell}{2} \cos \theta, \frac{\ell}{2} \sin \theta \sin \varphi \right)$$

la coordinata del centro di massa della sbarra. L'energia cinetica del centro di massa è

$$T' = \frac{1}{2} m |\dot{\mathbf{x}}_0|^2 = \frac{1}{8} m \ell^2 (\dot{\theta}^2 + \dot{\varphi}^2 \sin^2 \theta).$$

La sbarra sta ruotando di un angolo  $\varphi$  intorno all'asse  $e_y$  e di un angolo  $\theta$  intorno a un asse ortogonale all'asse della sbarra, per esempio  $e_2$ . La velocità angolare è la somma delle due velocità angolari (cfr. il lemma 34.25):

$$\boldsymbol{\omega} = \dot{\theta} \mathbf{e}_2 + \dot{\varphi} \mathbf{e}_y = \dot{\theta} \mathbf{e}_2 + \dot{\varphi} \sin \theta \mathbf{e}_1 + \dot{\varphi} \cos \theta \mathbf{e}_3,$$

dove si è usato che  $\mathbf{e}_y = \sin \theta \mathbf{e}_1 + \cos \theta \mathbf{e}_3$  (cfr. la figura 8.13 del capitolo 8, con l'asse  $e_2$  sostituito dall'asse  $e_3$ ). Se scriviamo  $\boldsymbol{\omega} = \Omega_1 \mathbf{e}_1 + \Omega_2 \mathbf{e}_2 + \Omega_3 \mathbf{e}_3$ , otteniamo

$$T'' = \frac{1}{2} (I_1 \Omega_1^2 + I_2 \Omega_2^2 + I_3 \Omega_3^2) = \frac{1}{2} I_1 (\Omega_1^2 + \Omega_2^2) = \frac{m}{24} \ell (\dot{\theta}^2 + \dot{\varphi}^2 \sin^2 \theta),$$

poiché  $I_1 = I_2 = m\ell^2/12$  e  $I_3 = 0$  (cfr. il §45.1). L'energia cinetica totale è la somma di  $T' + T''$ : si verifica immediatamente che  $T' + T'' = T$ , dove  $T$  è la funzione trovata con il procedimento 1.

L'energia potenziale gravitazionale è data da

$$V_{\text{gr}} = - \int_0^\ell du \frac{m}{\ell} gu \cos \theta = -mg \frac{\ell}{2} \cos \theta.$$

In conclusione, la lagrangiana è

$$\mathcal{L} = \frac{1}{6}m\ell^2 \left( \dot{\varphi}^2 \sin^2 \theta + \dot{\theta}^2 \right) + mg \frac{\ell}{2} \cos \theta,$$

dove  $\dot{\varphi} = \omega(t)$ ; se  $\omega(t) = \omega$ , con  $\omega$  costante, si ha  $\varphi = \omega t$ . Per individuare le configurazioni di equilibrio relativo ci dobbiamo mettere in un sistema di riferimento in cui il piano rotante è fisso; in tale sistema l'energia cinetica, calcolata sempre tramite il teorema di König, è

$$T_0 = \frac{1}{2}m \left( \frac{\ell}{2} \right)^2 \dot{\theta}^2 + \frac{1}{2}I_1 \dot{\theta}^2 = \frac{1}{6}m\ell^2 \dot{\theta}^2,$$

mentre l'energia potenziale è data da  $V_0 = V_{\text{gr}} + V_{\text{cf}}$ , dove  $V_{\text{gr}}$  è l'energia potenziale calcolata precedentemente e  $V_{\text{cf}}$ , l'energia potenziale centrifuga dovuta alla rotazione del piano, è

$$V_{\text{cf}} = -\frac{1}{2} \int_0^\ell du \frac{m}{\ell} \omega^2 u^2 \sin^2 \theta = -\frac{1}{6}m\ell^2 \omega^2 \sin^2 \theta.$$

Si noti che  $\mathcal{L}_0 = T_0 + V_{\text{gr}} + V_{\text{cf}} = \mathcal{L}$ , dove  $\mathcal{L}$  è la lagrangiana calcolata precedentemente nel sistema fisso. Questo comporta che le equazioni del moto per la variabile  $\theta$  sono le stesse, in entrambi i sistemi di riferimento (come era lecito attendersi *a priori*): quello che cambia è che il contributo dovuto alla rotazione del piano appare come un termine cinetico nel sistema fisso e come un contributo centrifugo (quindi dovuto a una forza apparente) nel sistema di riferimento mobile. Nel sistema di riferimento mobile l'energia potenziale è

$$V_0 = -mg \frac{\ell}{2} \cos \theta - \frac{1}{6}m\ell^2 \omega^2 \sin^2 \theta.$$

Le configurazioni di equilibrio si ottengono richiedendo

$$V_0'(\theta) = \frac{1}{2}mgl \sin \theta - \frac{1}{3}m\ell^2 \omega^2 \sin \theta \cos \theta = \left( \frac{1}{2}mgl - \frac{1}{3}m\ell^2 \omega^2 \cos \theta \right) \sin \theta = 0,$$

che è soddisfatta per  $\sin \theta = 0$  o per  $\theta$  tale che  $\cos \theta = \alpha := 3g/2\ell\omega^2$ . Si hanno due configurazioni di equilibrio,  $\theta = 0$  e  $\theta = \pi$ , che esistono per ogni valore dei parametri, e due configurazioni,  $\theta = \pm\theta_0$ , dove  $\theta_0 = \arccos \alpha$ , che esistono solo se  $\alpha < 1$ . Poiché  $V_0''(\pi) < 0$  e  $V_0''(0) = m\ell^2 \omega^2 (\alpha - 1)/3$ , la configurazione  $\pi$  è sempre instabile, mentre 0 è stabile se  $\alpha > 1$  e instabile se  $\alpha < 1$ . Le configurazioni  $\pm\theta_0$ , quando esistono ( $\alpha < 1$ ) sono stabili, poiché  $V_0''(\pm\theta_0) = m\ell^2 \omega^2 (1 - \alpha^2)/3$ . Per  $\alpha = 1$ , la configurazione  $\theta = 0$  è stabile, poiché è un punto di minimo della funzione  $V_0(\theta)$ .]

**Esercizio 26** Si consideri il sistema lagrangiano costituito da due punti materiali  $P_1$  e  $P_2$ , entrambi di massa  $m = 1$ , vincolati a muoversi in un piano verticale, che identificheremo con il piano  $(x, y)$ , su profili di equazione, rispettivamente,  $y = 1$  e  $y = x^2$ ; sia  $g$  l'accelerazione di gravità. I due punti sono inoltre collegati da una molla di costante elastica  $k > 0$  e lunghezza a riposo nulla (cfr. la figura 12.15).

- (1) Si scrivano la lagrangiana del sistema e le corrispondenti equazioni di Eulero-Lagrange.
- (2) Si determinino le configurazioni di equilibrio e se ne discuta la stabilità.
- (3) Si determini la forza vincolare che agisce sul punto  $P_1$  in corrispondenza di una configurazione di equilibrio stabile (se esiste), per i seguenti valori dei parametri:  $2k = g = 1$ .

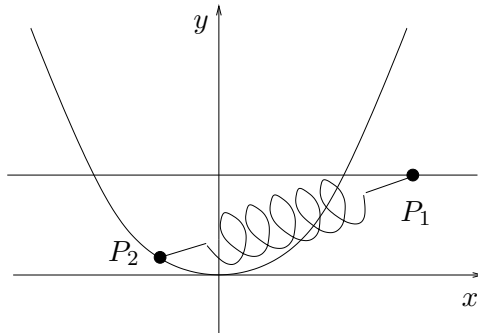


Figura 12.15: Sistema discusso nell'esercizio 26.

[Suggerimento. Si usino come coordinate lagrangiane le ascisse  $x_1$  e  $x_2$  dei due punti  $P_1$  e  $P_2$ , rispettivamente, così che  $P_1 = (x_1, y_1) = (x_1, 1)$  e  $P_2 = (x_2, y_2) = (x_2, x_2^2)$ . A meno di termini costanti, la lagrangiana è

$$\mathcal{L} = T - V, \quad T = \frac{1}{2} (\dot{x}_1^2 + (1 + 4x_2^2)\dot{x}_2^2), \quad V = gx_2^2 + \frac{1}{2}k (x_1^2 + x_2^4 - x_2^2 - 2x_1x_2).$$

Sia  $\alpha := g/k$ . Se  $\alpha \geq 1$ , si ha una sola configurazione di equilibrio  $(x_1, x_2) = (0, 0)$ , che è stabile (il caso  $\alpha = 1$  va discusso a parte notando che  $V \geq 0$  in tal caso e  $V = 0$  se e solo se  $x_1 = x_2 = 0$ ), mentre se  $\alpha < 1$ , oltre alla configurazione di equilibrio  $(x_1, x_2) = (0, 0)$ , che diventa instabile, si hanno anche le due configurazioni  $(x_1, x_2) = \pm(\sqrt{1 - \alpha}, \sqrt{1 - \alpha})$ , che sono stabili; si ha quindi in  $\alpha = 1$  una biforcazione a forcone supercritica (cfr. l'esempio 58.16). Se  $f^{(1)} = (f_x^{(1)}, f_y^{(1)})$  è la forza che agisce sul punto  $P_1$  e  $R^{(1)} = (R_x^{(1)}, R_y^{(1)})$  è la forza vincolare sul punto  $P_1$ , si ha

$$\ddot{x}_1 = f_x^{(1)} + R_x^{(1)}, \quad \ddot{x}_2 = f_x^{(2)} + R_x^{(2)}.$$

La forza  $f^{(1)}$  è data da

$$f_x^{(1)} = -\frac{\partial \bar{V}}{\partial x_1}, \quad f_y^{(1)} = -\frac{\partial \bar{V}}{\partial y_1},$$

dove

$$\bar{V} = gy_1 + gy_2 + \frac{1}{2}k ((x_1 - x_2)^2 + (y_1 - y_2)^2)$$

è l'energia potenziale del sistema quando si ignorano i vincoli. In corrispondenza della configurazione di equilibrio si ha  $\ddot{x}_1 = \ddot{y}_1 = 0$ , quindi per il punto (3), tenendo conto che la configurazione di equilibrio stabile è  $(0, 0)$  poiché  $\alpha = 2$ , si trova

$$R_x^{(1)} = k(x_1 - x_2) = 0, \quad R_y^{(1)} = k(y_1 - y_2) + gy_1 = k + g = \frac{3}{2},$$

poiché  $y_1 = 1$  e  $x_1 = x_2 = y_2 = 0$ .]

**Esercizio 27** Un sistema meccanico è costituito da due punti  $P_1$  e  $P_2$ , di massa  $m_1 = m_2 = 1$  e vincolati a muoversi lungo una guida posta in un piano verticale  $\pi$ . Introducendo in  $\pi$  un sistema di coordinate  $(x, y)$ , la guida risulta definita dall'equazione  $y = x^2$  e i due punti  $P_1$  e  $P_2$  sono individuati dalle coordinate  $(x_1, x_1^2)$  e  $(x_2, x_2^2)$  rispettivamente. Sul sistema agisce la forza peso; sia  $g$  l'accelerazione di gravità. Inoltre il piano  $\pi$  ruota intorno all'asse verticale  $x = 0$  con velocità angolare uniforme  $\omega$ . Si studino le tre seguenti configurazioni.

- Il punto  $P_2$  è fisso nell'origine e il punto  $P_1$  è mobile e collegato all'asse verticale  $x = 0$  da una molla di costante elastica  $k$ .
- Il punto  $P_2$  è fisso nell'origine e il punto  $P_1$  è mobile e collegato all'asse orizzontale  $y = 0$  da una molla di costante elastica  $k$ .
- I punti  $P_1$  e  $P_2$  sono mobili e collegati tra loro da una molla di costante elastica  $k$  (cfr. la figura 12.16).

(1) Si scrivano la lagrangiana e le equazioni di Eulero-Lagrange, nei tre casi sopra considerati.

(2) Si determinino le configurazioni di equilibrio e se ne discuta la stabilità al variare della velocità angolare  $\omega$ , nei tre casi sopra considerati.

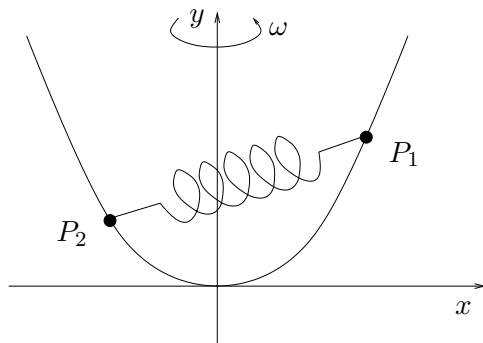


Figura 12.16: Terza configurazione del sistema discusso nell'esercizio 27.

[Suggerimento. Nel primo caso la molla unisce il punto  $P_1$  a un punto  $Q$  di massa nulla che si muove lungo l'asse  $y$  in modo tale che si abbia  $Q = (0, y_1)$ , se  $P = (x_1, y_1)$ , con  $y_1 = x_1^2$ : in altre parole il punto  $Q$  è sempre alla stessa quota del punto  $P_1$ . Si noti che tale situazione si può immaginare ottenuta a partire da un punto di massa  $m_0 > 0$  che si muova lungo l'asse  $y$ , nel limite  $m_0 \rightarrow 0$ . Infatti, se  $Q = (0, y_0)$ , la corrispondente lagrangiana è della forma

$$\mathcal{L} = \frac{1}{2}m_0\dot{y}_0^2 + \frac{1}{2}k(x_1^2 + (y_0 - y_1)^2) + \mathcal{L}'$$

dove il primo termine descrive l'energia cinetica del punto  $Q$ , il secondo tiene descrive l'energia potenziale elastica dovuta alla molla che unisce i punti  $P_1$  e  $Q$ , mentre il termine  $\mathcal{L}'$  tiene conto degli altri contributi che non dipendono da  $y_0$  né da  $\dot{y}_0$ . Scrivendo le equazioni di Eulero-Lagrange si ottiene

$$m_0\ddot{y}_0 = -k(y_0 - y_1),$$

così che, nel limite  $m_0 \rightarrow 0$ , si ha  $y_0 = y_1$  identicamente. Analogamente, nel secondo caso, si ha  $Q = (x_1, 0)$ , se  $x_1$  è l'ascissa del punto  $P_1$ . In conclusione, la lagrangiana è

$$\mathcal{L} = \frac{1}{2}\dot{x}_1^2(1 + 4x_1^2) - gx_1^2 + \frac{1}{2}\omega^2 x_1^2 - \frac{1}{2}kx_1^2$$

nel primo caso e

$$\mathcal{L} = \frac{1}{2}\dot{x}_1^2(1 + 4x_1^2) - gx_1^2 + \frac{1}{2}\omega^2 x_1^2 - \frac{1}{2}kx_1^4$$

nel secondo. Per quanto riguarda le configurazioni di equilibrio, si ha la seguente situazione. Nel primo caso, se  $k - \omega^2 + 2g = 0$  non si hanno configurazioni di equilibrio, altrimenti si ha la sola configurazione di equilibrio  $x_1 = 0$ , che è stabile se  $k - \omega^2 + 2g > 0$  e instabile se  $k - \omega^2 + 2g < 0$ . Nel secondo caso, l'energia potenziale è

$$V(x_1) = \alpha x_1^4 - \beta x_1^2, \quad \alpha := \frac{k}{2}, \quad \beta := \frac{\omega^2}{2} - g,$$

così che se  $\beta < 0$  si ha la sola configurazione di equilibrio  $x_1 = 0$ , che è stabile, mentre se  $\beta > 0$ , oltre a  $x_1 = 0$  (che diventa instabile), si hanno le due configurazioni di equilibrio  $x_1 = \pm\sqrt{\beta/2\alpha}$ , che sono stabili. Si noti che in  $\beta = 0$  si ha una biforcazione a forcone supercritica (cfr. l'esempio 58.16). Infine nel terzo caso, la lagrangiana è

$$\mathcal{L} = \frac{1}{2}\dot{x}_1^2(1 + 4x_1^2) + \frac{1}{2}\dot{x}_2^2(1 + 4x_2^2) + \left(\frac{\omega^2}{2} - g\right)(x_1^2 + x_2^2) - \frac{k}{2}((x_1 - x_2)^2 + (x_1^2 - x_2^2)^2),$$

che è più conveniente da studiare dopo aver effettuato il cambio di variabili  $s := x_1 + x_2$  e  $d := x_1 - x_2$ . In termini delle nuove variabili, la lagrangiana diventa  $\mathcal{L} = T - V$ , dove

$$T = \left(\frac{1}{4} + s^2 + d^2\right)\dot{s}^2 + \left(\frac{1}{4} + 4s^2 + 4d^2\right)\dot{d}^2 + 4s\dot{s}\dot{d}, \quad V = \alpha s^2 d^2 + (\alpha - 2\beta)d^2 - 2\beta s^2,$$

con  $\alpha$  e  $\beta$  definiti come sopra. Le configurazioni di equilibrio corrispondono ai valori  $(s, d)$  tali che

$$\frac{\partial V}{\partial s} = 2(\alpha d^2 - 2\beta)s = 0, \quad \frac{\partial V}{\partial d} = 2(\alpha s^2 + \alpha - 2\beta)d = 0.$$

Se  $\alpha > 2\beta$ , l'unica configurazione di equilibrio è  $(s, d) = (0, 0)$ ; se invece  $\alpha = 2\beta$ , oltre a  $(0, 0)$  ci sono le due configurazioni  $(0, \pm 1)$ ; infine se  $\alpha < 2\beta$ , oltre a  $(0, 0)$ , ci sono anche quattro ulteriori configurazioni  $(s, d) = (\pm s_0, \pm d_0)$ , dove  $s_0 := \sqrt{(2\beta - \alpha)/\alpha}$  e  $d_0 := \sqrt{2\beta/\alpha}$ . La stabilità delle configurazioni di equilibrio si determina studiando la matrice hessiana

$$\mathcal{H}(s, d) = \begin{pmatrix} 2(\alpha d^2 - 2\beta) & 4\alpha ds \\ 4\alpha sd & 2(\alpha s^2 + \alpha - 2\beta) \end{pmatrix}.$$

La configurazione  $(0, 0)$  è stabile se e solo se  $\beta < 0$ , i.e.  $\omega^2 < 2g$ ; il caso  $\beta = 0$  va discusso a parte: l'energia potenziale è  $V = \alpha s^2 d^2 + \alpha d^2$ , così che l'intera retta  $d = 0$  risulta costituita da punti di equilibrio instabili. Le due configurazioni  $(0, \pm 1)$ , che esistono per  $\alpha = 2\beta$ , sono instabili; infatti in tal caso l'energia potenziale diventa  $V = \alpha s^2(d^2 - 1)$ , così che  $(s, d) = (0, \pm 1)$  sono punti di sella. Le altre quattro configurazioni, che esistono solo per  $\alpha < 2\beta$ , sono anch'essi tutti instabili, come si verifica immediatamente notando che, in tal caso, si ha  $\det \mathcal{H}(\pm s_0, \pm d_0) = -32\beta(2\beta - \alpha) < 0$ .]

**Esercizio 28** Un sistema meccanico appartenente a un piano verticale  $\pi$  è costituito da un disco omogeneo di raggio  $r$  e massa  $m$ , vincolato a rotolare senza strisciare all'interno di una circonferenza di raggio  $R$  tale che  $\ell := R - r > 0$ . Il centro  $C$  del disco è connesso tramite una molla elastica con costante di richiamo  $k$  e di lunghezza a riposo nulla a un punto fisso  $P$ , posto sulla verticale passante per il centro  $O$  della circonferenza, a distanza  $d$  da esso. Sia  $g$  l'accelerazione di gravità. Si consideri come variabile lagrangiana l'angolo  $\theta$  che  $OC$  forma con la verticale per  $O$  (cfr. la figura 12.17).

(1) Si scrivano la lagrangiana che descrive il sistema e le equazioni di Eulero-Lagrange.

(2) Si determini quale valore  $d_0$  deve assumere  $d$ , in funzione dei parametri del sistema, perché il disco rotoli senza strisciare come se fosse libero (cioè come se su esso non agisse nessuna forza attiva).

Si supponga ora che sia  $d = d_0/2$ .

(3) Si studi il moto nel piano  $(\theta, \dot{\theta})$  e si discuta per quali dati iniziali si hanno traiettorie periodiche.

(4) Si determinino le configurazioni di equilibrio e se ne discuta la stabilità.

(5) Se il piano verticale  $\pi$  ruota con velocità angolare costante  $\omega$  intorno all'asse verticale passante per  $O$ , mettendosi nel sistema di riferimento solidale con il piano  $\pi$  si determinino le nuove configurazioni di equilibrio (relativo) e se ne discuta la stabilità al variare del valore di  $\omega$ .

(6) Si determinino le forze vincolari che agiscono sul centro  $C$  del disco in corrispondenza di una configurazione di equilibrio stabile trovata al punto precedente per  $\omega^2 = g/\ell$ .

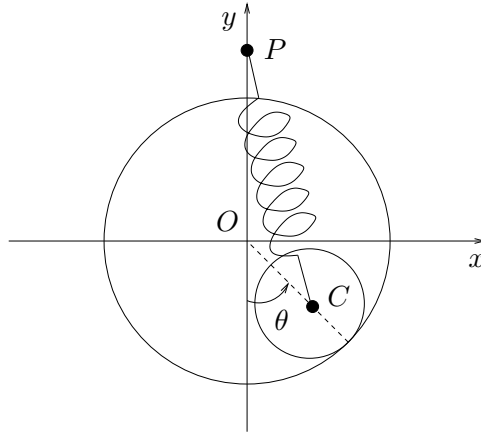


Figura 12.17: Sistema discusso nell'esercizio 28.

[*Suggerimento.* Si tenga conto della discussione dell'esempio 53.8 per imporre il vincolo di rotolamento senza strisciamento. Le energie potenziali gravitazionale e centrifuga del disco si calcolano procedendo come indicato nell'esercizio 23. Nel caso in cui il piano ruoti si trova quindi  $\mathcal{L} = T - V$ , dove

$$T = \frac{3}{4}m\ell^2\dot{\theta}^2, \quad V = kdl \cos \theta - mg\ell \cos \theta - \frac{1}{2}m\omega^2\ell^2 \sin^2 \theta,$$

mentre l'ultimo termine in  $V$  è assente nel caso in cui il piano sia fermo ( $\omega = 0$ ). In particolare per  $\omega = 0$  l'energia potenziale è nulla se  $d = d_0 := mg/k$ . Per  $\omega = 0$  e  $d = d_0/2$  il sistema si comporta come il pendolo (senza attrito) descritto al §24. Se  $\omega \neq 0$  e  $d = d_0/2$ , l'energia potenziale è

$$V = -\frac{1}{2}mg\ell \cos \theta - \frac{1}{2}m\omega^2\ell^2 \sin^2 \theta.$$

Se  $\alpha := g/2\omega^2\ell$ , le configurazioni di equilibrio si ottengono richiedendo che  $\theta$  sia tale che  $\sin\theta = 0$  oppure, se  $\alpha < 1$ ,  $\cos\theta = \alpha$ : la configurazione d'equilibrio  $\theta = 0$  è stabile se  $\alpha \leq 1$  e instabile altrimenti, la configurazione d'equilibrio  $\theta = \pi$  è sempre instabile e, se  $\alpha < 1$ , esistono anche le configurazioni di equilibrio stabili  $\theta = \pm\theta_0$ , con  $\theta_0 := \arccos\alpha$ ; in  $\alpha = 1$  si ha pertanto una biforcazione a forcone supercritica. Se  $\omega^2 = g/\ell$ , come al punto (3), si ha  $\alpha = 1/2$ , quindi le configurazioni di equilibrio stabili sono  $\pm\theta_0$ . Si consideri una delle due configurazioni, per esempio  $\theta = \theta_0$ , così che  $\theta_0 = \arccos 1/2 = \pi/3$  e  $\sin\theta_0 = \sqrt{3}/2$ . Le coordinate cartesiane del centro  $C$  sono  $C = (\ell \sin\theta_0, -\ell \cos\theta_0) = (\sqrt{3}\ell/2, -\ell/2)$ . Per determinare le forze vincolari  $R = (R_x, R_y)$  che agiscono su  $C$  si calcolano innanzitutto le forze attive  $f = (f_x, f_y)$ , partendo dall'espressione per l'energia potenziale in assenza di vincoli

$$V = \frac{1}{2}k(x^2 + (y-d)^2) + mgy - \frac{1}{2}m\omega^2x^2.$$

Si trova  $f_x = -kx + m\omega^2x$  e  $f_y = -k(y-d) - mg$ . Poiché si ha  $\ddot{x} = \ddot{y} = 0$  in corrispondenza di una configurazione di equilibrio, si ottiene  $R_x = m\ddot{x} - f_x = (k - m\omega^2)x$  e  $R_y = m\ddot{y} - f_y = k(y-d) + mg$ . Sostituendo i valori  $d = mg/2k$  e  $\omega^2 = g/\ell$ , si ottiene  $R_x = 3(k\ell - mg)/2$  e  $R_y = (mg - k\ell)/2$ .]

**Esercizio 29** Si consideri il sistema lagrangiano costituito da un punto materiale  $P$  di massa  $m = 1$ , vincolato a muoversi in un piano verticale, che identificheremo con il piano  $(x, y)$ , lungo una guida descritta dall'equazione  $y = x^2$ . Il piano verticale ruota intorno all'asse verticale  $y$  con velocità angolare costante  $\omega$ . Il punto  $P$  è sottoposto alla forza di gravità ed è collegato all'estremo di una molla di costante elastica  $k > 0$  e lunghezza a riposo nulla, che ha l'altro estremo fissato nell'origine. Sia  $g$  l'accelerazione di gravità (cfr. la figura 12.18).

- (1) Si scrivano la lagrangiana del sistema e le corrispondenti equazioni di Eulero-Lagrange.
- (2) Si trovino le configurazioni di equilibrio in un sistema di riferimento solidale con il piano rotante.
- (3) Se ne discuta la stabilità.
- (4) Si determini la forza vincolare che agisce sul punto  $P$  in corrispondenza di una configurazione di equilibrio stabile (se esiste) per i valori dei parametri  $\omega = \sqrt{11}$ ,  $g = 1$  e  $k = 1$ .

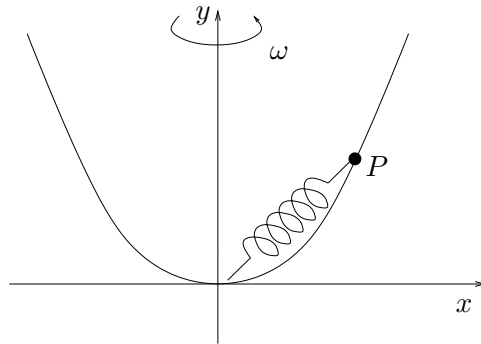


Figura 12.18: Sistema discusso nell'esercizio 29.

**Esercizio 30** Si consideri il sistema lagrangiano costituito da due punti materiali  $P_1$  e  $P_2$ , di massa rispettivamente  $m_1$  e  $m_2$ , vincolati a muoversi in un piano verticale nel modo seguente. Il punto  $P_1$  si

muove lungo una circonferenza  $C$  di raggio  $R = 1$ , e il punto  $P_2$  si muove lungo una guida rettilinea infinita di massa nulla tangente alla circonferenza  $C$  in  $P_1$ . Il punto  $P_2$  è collegato al punto  $P_1$  e al centro  $C$  della circonferenza da due molle, entrambe di costante elastica  $k > 0$  e lunghezza a riposo nulla. Il sistema è sottoposto all'azione della gravità; sia  $g$  l'accelerazione di gravità (cfr. la figura 12.19).

- (1) Quanti gradi di libertà ha il sistema?
- (2) Si scrivano la lagrangiana del sistema e le corrispondenti equazioni di Eulero-Lagrange.
- (3) Si determinino le configurazioni di equilibrio nel sistema nel caso in cui sia  $m_1 = 0$  e  $m_2 = 1$ , e se ne studi la stabilità; si discuta il comportamento asintotico nei limiti  $k \rightarrow 0$  e  $k \rightarrow +\infty$ .
- (4) Si determinino le configurazioni di equilibrio nel sistema nel caso in cui sia  $m_1 = m_2 = 1$ , e se ne discuta la stabilità.

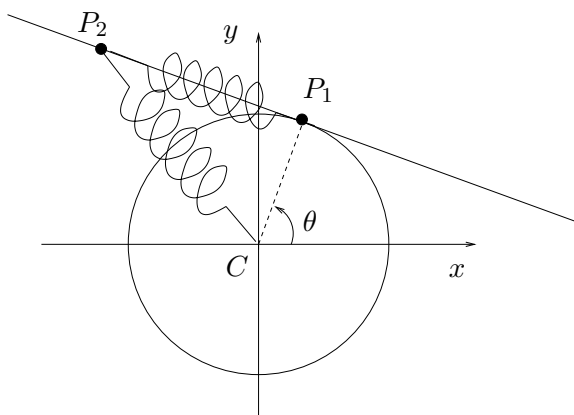


Figura 12.19: Sistema discusso nell'esercizio 30.

[Suggerimento. Il sistema ha due gradi di libertà: le configurazioni del sistema possono essere identificate dando l'angolo  $\theta$  che il raggio vettore  $OP_1$  forma con l'asse  $x$  e la posizione  $s$  che il punto  $P_2$  occupa lungo la retta individuata dalla guida. Si ha infatti

$$P_1 = (\cos \theta, \sin \theta), \quad P_2 = (\cos \theta - s \sin \theta, \sin \theta + s \cos \theta),$$

dove si è tenuto conto che la guida è tangente alla circonferenza nel punto di contatto  $P_1$ . L'energia cinetica e l'energia potenziale sono, rispettivamente,

$$T = \frac{1}{2}m_1\dot{\theta}^2 + \frac{1}{2}m_2(\dot{\theta}^2 + \dot{s}^2 + s^2\dot{\theta}^2 + 2\dot{s}\dot{\theta}), \quad V = ks^2 + m_1g \sin \theta + m_2g(\sin \theta + s \cos \theta).$$

così che la lagrangiana è  $\mathcal{L} = T - V$ , e le equazioni di Eulero-Lagrange sono

$$\begin{cases} m_1\ddot{\theta} + m_2\ddot{\theta} + m_2s^2\ddot{\theta} + m_2\ddot{s} + 2m_2s\dot{s}\dot{\theta} = -(m_1 + m_2)g \cos \theta + m_2gs \sin \theta, \\ m_2\ddot{\theta} + m_2\ddot{\theta} = -ks - m_2g \cos \theta. \end{cases}$$

Se  $m_1 = 0$  e  $m_2 = 1$ , si ha  $V = ks^2 + g(\sin \theta + s \cos \theta)$ , così che  $(s, \theta)$  è una configurazione di equilibrio se verifica

$$\frac{\partial V}{\partial s} = 2ks + g \cos \theta = 0, \quad \frac{\partial V}{\partial \theta} = g(\cos \theta - s \sin \theta) = 0.$$



La prima equazione richiede  $s = -g \cos \theta / 2k$ , che, introdotta nella seconda, implica  $\cos \theta = 0$  oppure  $\sin \theta = -\alpha$ , dove  $\alpha := 2k/g$ . L'equazione  $\cos \theta = 0$  è soddisfatta se  $\theta = \pm\pi/2$  e in tal caso si ha  $s = 0$ . Tenendo conto che  $k, g \geq 0$ , l'equazione  $\sin \theta = -\alpha$  è soddisfatta per  $\theta = \theta_0 := \arcsin \alpha$  o  $\theta = \theta_1 := -\pi + \theta_0$ , purché si abbia  $\alpha \in (0, 1)$ ; definiamo  $s_0 = -g \cos \theta_0 / 2k$  e  $s_1 = -g \cos \theta_1 / 2k$ . Si noti che se  $\alpha = 0$  si ritrova  $\cos \theta = 0$  (i.e.  $\theta = \pm\pi/2$ ) e  $s = 0$ ; se invece  $\alpha = 1$  si ha  $\theta = -\pi/2$  e  $s = 0$ . La matrice hessiana di  $V$  è

$$\mathcal{H}(s, \theta) = \begin{pmatrix} 2k & -g \sin \theta \\ -g \sin \theta & -g \sin \theta - g s \cos \theta \end{pmatrix},$$

da cui si deduce che  $(s, \theta) = (0, \pi/2)$  è sempre instabile,  $(s, \theta) = (0, -\pi/2)$  è stabile se  $2k > g$  e instabile se  $2k < g$ , e le configurazioni  $(s_0, \theta_0)$  e  $(s_1, \theta_1)$  sono stabili quando esistono ( $2k < g$ ). Il caso  $2k = g$  va discusso a parte. Per tali valori dei parametri, oltre a  $(0, \pi/2)$  l'unica altra configurazione di equilibrio è  $(0, -\pi/2)$ . Ponendo  $\theta = -\pi/2 + \varphi$ , si ha

$$V\left(s, -\frac{\pi}{2} + \varphi\right) = \text{costante} + k(s^2 + \varphi^2 + 2s\varphi) - \frac{k}{3}s\varphi^3 + \dots = \text{costante} + k(s + \varphi)^2 - \frac{k}{3}s\varphi^3 + \dots,$$

da cui si vede che  $(0, -\pi/2)$  è un punto di sella: quindi la configurazione  $(0, -\pi/2)$  è instabile. Sia nel limite  $k \rightarrow 0$  (che comporta  $\alpha \rightarrow 0$ ) che nel limite  $k \rightarrow +\infty$  (che comporta  $\alpha \rightarrow +\infty$ ) gli unici punti di equilibrio sono  $(0, \pi/2)$  e  $(0, -\pi/2)$ . Il primo è sempre instabile, mentre il secondo è stabile se  $k \rightarrow +\infty$  e instabile se  $k \rightarrow 0$ . Il caso in cui si abbia  $m_1 = m_2 = 1$  può essere discusso in modo simile notando che l'energia potenziale è  $V = ks^2 + g(2 \sin \theta + s \cos \theta)$  per i valori considerati delle masse.]

**Esercizio 31** Si consideri il sistema meccanico costituito da due punti  $P_1$  e  $P_2$ , entrambi di massa  $m = 1$ , vincolati a muoversi lungo una retta orizzontale. Siano  $x_1$  e  $x_2$  le posizioni, rispettivamente, dei punti  $P_1$  e  $P_2$  lungo la retta, calcolate a partire da un punto fissato  $O$ . I punti sono soggetti alle seguenti forze:  $P_1$  è attratto dal punto  $O$  tramite una forza elastica con costante  $k = 1$ ;  $P_2$  è attratto dal punto  $O$  tramite una forza elastica con costante  $k = 1$ ;  $P_1$  e  $P_2$  si attraggono tramite una forza elastica con costante  $k = 1$  e si respingono con una forza  $\alpha |x_2 - x_1|^3$ , con  $\alpha > 0$ .

- (1) Si scrivano la lagrangiana e le equazioni di Eulero-Lagrange.
- (2) Si determinino le configurazioni di equilibrio.
- (3) Se si fissa a  $\ell > 0$  la distanza  $x_1 - x_2$  tra i due punti  $P_1$  e  $P_2$ , si scriva come si modifica la lagrangiana del sistema e si determinino le nuove configurazioni di equilibrio.
- (4) Se si eliminano le due interazioni elastiche tra i punti  $P_1$  e  $P_2$  con il punto fissato  $O$ , si trovi la lagrangiana ridotta con il metodo di Routh e si scrivano le nuove equazioni di Eulero-Lagrange.

**Esercizio 32** Si consideri il pendolo doppio dell'esercizio 51 del capitolo 11 e si studi come si modificano la lagrangiana e le corrispondenti equazioni di Eulero-Lagrange nel caso in cui il piano in cui si svolge il moto ruoti intorno a un asse verticale passante per il punto di sospensione fisso, con velocità angolare costante.

**Esercizio 33** Si consideri il sistema lagrangiano ottenuto da un pendolo doppio (cfr. l'esercizio 51 del capitolo 11) attraverso la seguente modifica: la massa  $m_2$  del secondo pendolo è collegato al punto di sospensione fisso  $O$  del primo pendolo tramite una molla di costante elastica  $k > 0$  e di lunghezza a riposo trascurabile (cfr. la figura 12.20).

- (1) Si scriva la lagrangiana del sistema.
- (2) Si scrivano le corrispondenti equazioni di Eulero-Lagrange.
- (3) Si determinino le eventuali configurazioni di equilibrio nel sistema.
- (4) Se ne discuta la stabilità.

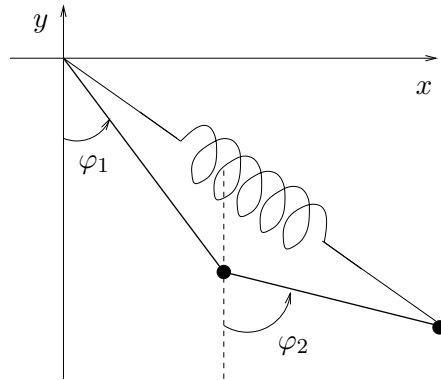


Figura 12.20: Sistema discusso nell'esercizio 33.

**Esercizio 34** Si considerino i tre sistemi lagrangiani che si differenziano dal pendolo doppio dell'esercizio 51 del capitolo 11 in quanto:

1. il punto di massa  $m_2$  è collegato al punto di massa  $m_1$  tramite una molla di costante elastica  $k > 0$  e di lunghezza a riposo trascurabile (cfr. la figura 12.21);
2. il punto di massa  $m_1$  e il punto di massa  $m_2$  sono collegati a un punto fisso e al punto di massa  $m_1$ , rispettivamente, tramite due molle di costante elastica  $k > 0$  e di lunghezza a riposo trascurabile (cfr. la figura 12.21);
3. il punto di massa  $m_1$  e il punto di massa  $m_2$  sono collegati a un punto fisso e al punto di massa  $m_1$ , rispettivamente, tramite due sbarre omogenee, entrambe di spessore trascurabile, di massa  $M_1$  e lunghezza  $\ell_1$  la prima e di massa  $M_2$  e lunghezza  $\ell_2$  la seconda.

- (1) Si scrivano le lagrangiane e le corrispondenti equazioni di Eulero-Lagrange dei tre sistemi.
- (2) Per ciascun sistema, si determinino le configurazioni di equilibrio e se ne discuta la stabilità.

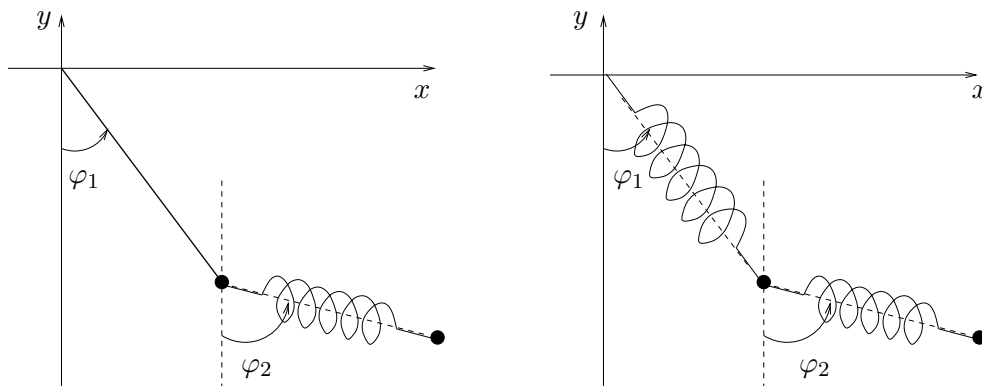


Figura 12.21: Sistemi 1 e 2 discussi nell'esercizio 34.

[Suggerimento. Nel caso 1 conviene usare come coordinate lagrangiane l'angolo  $\varphi_1$  che il pendolo di massa  $m_1$  forma con la verticale discendente e le coordinate cartesiane  $(x_2, y_2)$  del punto di massa  $m_2$ . La lagrangiana è  $\mathcal{L} = T - V$ , dove

$$T = \frac{m_1}{2} \ell_1^2 \dot{\varphi}_1^2 + \frac{m_2}{2} (\dot{x}_2^2 + \dot{y}_2^2), \quad V = -m_1 g \ell_1 \cos \varphi_1 + m_2 g y_2 + \frac{k}{2} (x_2^2 + y_2^2) - k \ell_1 x_2 \sin \varphi_1 + k \ell_1 y_2 \cos \varphi_1,$$

a meno di termini costanti. Le configurazioni di equilibrio sono individuate dalle condizioni  $\sin \varphi_1 = 0$ ,  $x_2 = 0$  e  $k(y_2 + \ell \cos \varphi_1) + m_2 g = 0$ ; si hanno quindi due configurazioni di equilibrio:

$$\begin{aligned} (Q_1) \quad \varphi_1 = 0, \quad x_2 = 0, \quad y_2 = -\ell_1 - \frac{m_2 g}{k}, \\ (Q_2) \quad \varphi_1 = \pi, \quad x_2 = 0, \quad y_2 = \ell_1 - \frac{m_2 g}{k}. \end{aligned}$$

La matrice hessiana dell'energia potenziale  $V$  è data da

$$\mathcal{H}(\varphi_1, x_2, y_2) = \begin{pmatrix} m_1 g \ell_1 \cos \varphi_1 - k \ell_1 y_2 \cos \varphi_1 + k \ell_1 x_2 \sin \varphi_1 & -k \ell_1 \cos \varphi_1 & -k \ell_1 \sin \varphi_1 \\ -k \ell_1 \cos \varphi_1 & k & 0 \\ -k \ell_1 \sin \varphi_1 & 0 & k \end{pmatrix},$$

così che

$$\mathcal{H}(0, 0, \mp \ell_1 - m_2 g/k) = \begin{pmatrix} \pm(m_1 + m_2)g\ell_1 + k\ell_1^2 & \mp k\ell_1 & 0 \\ \mp k\ell_1 & k & 0 \\ 0 & 0 & k \end{pmatrix},$$

da cui si vede facilmente che  $(Q_1)$  e  $(Q_2)$  rappresentano rispettivamente un punto di minimo e un punto di sella per  $V$ . Ne segue che la configurazione d'equilibrio  $(Q_1)$  è stabile, mentre la configurazione  $(Q_2)$  è instabile. Nel caso 2 conviene usare coordinate cartesiane  $(x_1, y_1)$  e  $x_2, y_2$  per entrambi i punti. La lagrangiana è  $\mathcal{L} = T + V$ , dove

$$\begin{aligned} T &= \frac{m_1}{2} (\dot{x}_1^2 + \dot{y}_1^2) + \frac{m_2}{2} (\dot{x}_2^2 + \dot{y}_2^2), \\ V &= m_1 g y_1 + m_2 g y_2 + \frac{k}{2} (x_1^2 + y_1^2 + (x_1 - x_2)^2 + (y_1 - y_2)^2), \end{aligned}$$

è la somma di due lagrangiane indipendenti  $\mathcal{L} = \mathcal{L}_1 + \mathcal{L}_2$ , dove  $\mathcal{L}_1 = T_1 - V_1$  e  $\mathcal{L}_2 = T_2 - V_2$ , con

$$\begin{aligned} T_1 &= \frac{1}{2} (m_1 \dot{x}_1^2 + m_2 \dot{x}_2^2), & V_1 &= \frac{k}{2} (2x_1^2 + x_2^2 - 2x_1 x_2), \\ T_2 &= \frac{1}{2} (m_1 \dot{y}_1^2 + m_2 \dot{y}_2^2), & V_2 &= g(m_1 y_1 + m_2 y_2) + \frac{k}{2} (2y_1^2 + y_2^2 - 2y_1 y_2). \end{aligned}$$

Sia  $V_1$  che  $V_2$  ammettono un unico punto stazionario. Infatti, si ha

$$\frac{\partial V_1}{\partial x_1} = k(2x_1 - x_2), \quad \frac{\partial V_1}{\partial x_2} = -k(x_1 - x_2), \quad \frac{\partial V_2}{\partial y_1} = m_1 g + k(2y_1 - y_2), \quad \frac{\partial V_2}{\partial y_2} = m_2 g - k(y_1 - y_2),$$

così che si trova  $(x_1, x_2) = (0, 0)$  per  $V_1$  e  $(y_1, y_2) = (-(m_1 + m_2)g/k, -(m_1 + 2m_2)g/k)$  per  $V_2$ . Poiché le matrici hessiane di  $V_1$  e  $V_2$  sono

$$\mathcal{H}_1(x_1, x_2) = \mathcal{H}_2(y_1, y_2) = \begin{pmatrix} 2k & -k \\ -k & k \end{pmatrix},$$

entrambi i punti stazionari sono punti di minimo. Ne segue che  $(0, 0, -(m_1 + m_2)g/k, -(m_1 + 2m_2)g/k)$  è un punto di minimo per  $V = V_1 + V_2$  e quindi una configurazione di equilibrio stabile per il sistema. Infine il caso 3 si discute come il pendolo doppio dell'esercizio 51 del capitolo 11, con l'unica differenza che l'energia cinetica ha un termine in più

$$T_0 = \frac{1}{2} \left( \frac{M_1 \ell_1^2}{12} \dot{\varphi}_1^2 + \frac{M_2 \ell_2^2}{12} \dot{\varphi}_2^2 \right),$$

dovuta all'energia cinetica delle due sbarre (cfr. il §45.1) e l'energia potenziale ha un termine in più

$$V_0 = -\frac{1}{2} (M_1 \ell_1 \cos \varphi_1 + M_2 (\ell_1 \cos \varphi_1 + \ell_2 \cos \varphi_2)).$$

dovuta all'energia potenziale gravitazionale delle molle. In particolare si hanno quattro configurazioni di equilibrio:  $(\varphi_1, \varphi_2) = (0, 0)$ ,  $(\varphi_1, \varphi_2) = (\pi, 0)$ ,  $(\varphi_1, \varphi_2) = (0, \pi)$  e  $(\varphi_1, \varphi_2) = (\pi, \pi)$ . La prima è stabile e le altre tre sono instabili.]

**Esercizio 35** Sia  $f: \mathbb{R}^n \rightarrow \mathbb{R}$  una funzione di classe  $C^2$ . Sia  $x_0$  un punto stazionario di  $f$  e sia  $\mathcal{H}(x_0)$  la matrice hessiana di  $f$  in  $x_0$ . Si dimostri che

- se  $\mathcal{H}(x_0)$  è definita positiva allora  $x_0$  è un punto di minimo isolato per  $f$ ,
- se  $\mathcal{H}(x_0)$  è definita negativa allora  $x_0$  è un punto di massimo isolato per  $f$ .

[*Soluzione.* La matrice hessiana  $\mathcal{H}(x_0)$  di  $f$  è, per definizione, la matrice di elementi  $[\partial^2 f / \partial x_i \partial x_j](x_0)$ . Se la funzione  $f$  è di classe  $C^2$  la matrice  $\mathcal{H}(x_0)$  è simmetrica, per il teorema di Schwarz (cfr. l'esercizio 17 del capitolo 3), e ha di conseguenza  $n$  autovalori reali  $\lambda_1, \dots, \lambda_n$  e  $n$  autovettori ortogonali  $v_1, \dots, v_n$  (cfr. gli esercizi 39 e 40 del capitolo 1). Nella base degli autovettori, per ogni  $x \in \mathbb{R}^n$ , si può scrivere  $x = x_1 v_1 + \dots + x_n v_n$ , e quindi, in tale base,  $\langle x, \mathcal{H}(x_0)x \rangle = \lambda_1 x_1^2 + \dots + \lambda_n x_n^2$ . Se  $\mathcal{H}(x_0)$  è definita positiva, si ha  $\lambda_i > 0 \forall i = 1, \dots, n$  (cfr. anche l'esercizio 10 del capitolo 4). Sia  $c := \min\{\lambda_1, \dots, \lambda_n\}$ . Si ha  $c > 0$ , da cui segue che  $\langle x, \mathcal{H}(x_0)x \rangle \geq c(x_1^2 + \dots + x_n^2) = c|x|^2$ . Poiché  $f$  è di classe  $C^2$  e  $\nabla f(x_0) = 0$  (poiché  $x_0$  è un punto stazionario), si ha, scrivendo  $\Delta x := x - x_0$ ,

$$f(x) = f(x_0) + \langle \Delta x, \mathcal{H}(x_0)\Delta x \rangle + o(|\Delta x|^2) \implies f(x) - f(x_0) \geq c|\Delta x|^2 + o(|\Delta x|^2) \geq \frac{c}{2}|\Delta x|^2$$

per  $x$  sufficientemente vicino a  $x_0$ . Ne segue che esiste un intorno  $B(x_0)$  di  $x_0$  tale che  $f(x) > f(x_0)$  per ogni  $x \in B(x_0) \setminus \{x_0\}$ : quindi  $x_0$  è un punto di minimo isolato. Il caso in cui  $\mathcal{H}(x_0)$  sia definita negativa si tratta in modo analogo notando che in tal caso si ha  $\langle x, \mathcal{H}(x_0)x \rangle \leq C|x|^2 \forall x \in \mathbb{R}^n$ , dove  $C = \max\{\lambda_1, \dots, \lambda_n\} < 0$ .]

**Esercizio 36** Sia  $V$  l'energia potenziale di un sistema meccanico. Sia  $q_0$  una configurazione di equilibrio. Si dimostri che se gli autovalori della matrice hessiana di  $V$  calcolata in  $q_0$  sono tutti strettamente positivi, allora  $q_0$  è una configurazione di equilibrio stabile. [*Soluzione.* Sia  $\mathcal{H}(q_0)$  la matrice hessiana di  $V$  in  $q_0$ . Se gli autovalori di  $\mathcal{H}(q_0)$  sono strettamente positivi allora  $\mathcal{H}(q_0)$  è definita positiva (cfr. l'esercizio 10 del capitolo 4). Ne concludiamo che  $q_0$  è un punto di minimo isolato (cfr. l'esercizio 35) e quindi, per il teorema 58.6,  $q_0$  è una configurazione di equilibrio stabile.]

**Esercizio 37** Si consideri il sistema lagrangiano costituito da tre punti materiali  $P_1, P_2$  e  $P_3$ , tutti di massa  $m = 1$ , vincolati a muoversi in un piano orizzontale  $(x, y)$ ; il punto  $P_1$  si muove lungo la retta

di equazione  $y = 0$ , il punto  $P_2$  lungo la retta di equazione  $y = 1 + x$  e il punto  $P_3$  lungo la retta di equazione  $y = 1 - x$ . I tre punti sono inoltre collegati tra loro da tre molle di costante elastica  $k > 0$  e lunghezza a riposo nulla (cfr. la figura 12.22).

- (1) Si scrivano la lagrangiana del sistema e le corrispondenti equazioni di Eulero-Lagrange.
- (2) Si determinino le eventuali configurazioni di equilibrio nel sistema e se ne discuta la stabilità.
- (3) Si determini la forza vincolare che agisce sul punto  $P_1$  in corrispondenza di una configurazione di equilibrio stabile (se esiste).
- (4) Si supponga ora che il piano  $(x, y)$  sia verticale: si discuta come cambia lo scenario tenendo conto della forza di gravità (sia  $g$  l'accelerazione di gravità).

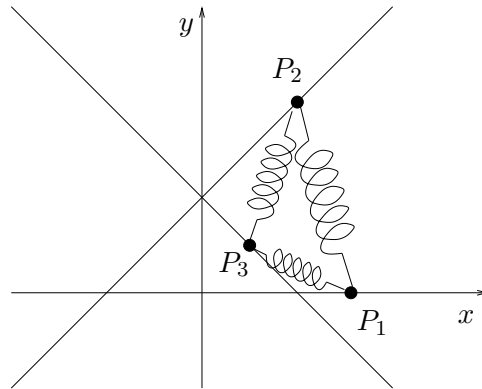


Figura 12.22: Sistema discusso nell'esercizio 37.

[Suggerimento. I punti hanno coordinate  $P_1 = (x_1, 0)$ ,  $P_2 = (x_2, 1 + x_2)$  e  $P_3 = (x_3, 1 - x_3)$ . La lagrangiana è  $\mathcal{L} = T - V$ , dove l'energia cinetica  $T$  e l'energia potenziale  $V$  sono, rispettivamente,

$$T = \frac{1}{2}(\dot{x}_1^2 + 2\dot{x}_2^2 + 2\dot{x}_3^2), \quad V = k(x_1^2 + 2x_2^2 + 2x_3^2 - x_1x_2 - x_1x_3 + x_2 - x_3).$$

Le equazioni di Eulero-Larange sono

$$\ddot{x}_1 = -k(2x_1 - x_2 - x_3), \quad 2\ddot{x}_2 = -k(4x_2 - x_1 + 1), \quad 2\ddot{x}_3 = -k(4x_3 - x_1 - 1).$$

Le configurazioni di equilibrio corrispondono ai valori  $(x_1, x_2, x_3)$  tali che

$$\frac{\partial V}{\partial x_1} = k(2x_1 - x_2 - x_3) = 0, \quad \frac{\partial V}{\partial x_2} = k(4x_2 - x_1 + 1) = 0, \quad \frac{\partial V}{\partial x_3} = k(4x_3 - x_1 - 1) = 0.$$

Dalle ultime due equazioni si ricava  $x_2 = (x_1 - 1)/4$  e  $x_3 = (x_1 + 1)/4$ , che, inserite nella prima, implicano  $x_1 = 0$ : si ha una sola configurazione di equilibrio, data da

$$(Q) \quad x_1 = 0, \quad x_2 = -1/4, \quad x_3 = 1/4.$$

La matrice hessiana di  $V$  è

$$\mathcal{H}(x_1, x_2, x_3) = \begin{pmatrix} 2k & -k & -k \\ -k & 4k & 0 \\ -k & 0 & 4k \end{pmatrix},$$

che è indipendente da  $x_1, x_2, x_3$ ; si verifica facilmente che i suoi autovalori,  $4$  e  $3 \pm \sqrt{3}$ , sono tutti e tre strettamente positivi: ne segue (cfr. l'esercizio 36) che  $(Q)$  è una configurazione di equilibrio stabile. Per calcolare le forze vincolari, si devono innanzitutto calcolare le forze attive. Per far questo, si deve considerare l'energia potenziale in assenza di vincoli,

$$V_0 = \frac{k}{2}((x_1 - x_2)^2 + (y_1 - y_2)^2 + (x_1 - x_3)^2 + (y_1 - y_3)^2 + (x_2 - x_3)^2 + (y_2 - y_3)^2),$$

dove  $(x_i, y_i)$  sono le coordinate cartesiane del punto  $P_i$ ,  $i = 1, 2, 3$ . La forza attiva  $f^{(1)}$  che agisce su  $P_1$  ha componenti

$$f_x^{(1)} = -\frac{\partial V_0}{\partial x_1} = -k(2x_1 - x_2 - x_3), \quad f_y^{(1)} = -\frac{\partial V_0}{\partial y_1} = -k(2y_1 - y_2 - y_3),$$

che, nella configurazione  $(Q)$ , tenendo conto che si ha  $y_1 = 0$ ,  $y_2 = 1 + x_2$  e  $y_3 = 1 - x_3$  quando si impone il vincolo, danno  $f_x^{(1)} = 0$  e  $f_y^{(1)} = 2k$ . La forza vincolare che agisce su  $P_1$  è  $R^{(1)} = (R_x^{(1)}, R_y^{(1)})$ , dove  $R_x^{(1)} = \ddot{x}_1 - f_x^{(1)} = 0$  e  $R_y^{(1)} = \ddot{y}_1 - f_y^{(1)} = -2k$ , dove si è tenuto conto che  $\ddot{x}_1 = \ddot{y}_1 = 0$  essendo  $(Q)$  una configurazione di equilibrio. Infine, se il piano  $(x, y)$  è verticale, il sistema risente anche della forza di gravità. L'energia cinetica non cambia, mentre l'energia potenziale diventa

$$V = k(x_1^2 + 2x_2^2 + 2x_3^2 - x_1x_2 - x_1x_3 + x_2 - x_3) + g(x_2 - x_3).$$

Le equazioni per individuare le configurazioni di equilibrio diventano

$$\frac{\partial V}{\partial x_1} = k(2x_1 - x_2 - x_3) = 0, \quad \frac{\partial V}{\partial x_2} = k(4x_2 - x_1 + 1) + g = 0, \quad \frac{\partial V}{\partial x_3} = k(4x_3 - x_1 - 1) - g = 0.$$

Si trova di nuovo una sola configurazione di equilibrio:

$$(Q') \quad x_1 = 0, x_2 = -\frac{k+g}{4k}, \quad x_3 = \frac{k+g}{4k}.$$

La matrice hessiana è la stessa del caso precedente: la nuova configurazione è di nuovo stabile.]

**Esercizio 38** Due dischi omogenei, entrambi di massa  $Me$  raggio  $r$ , rotolano senza strisciare lungo una guida posta su un piano orizzontale, mantenendosi sempre ortogonali al piano. I centri di massa dei due dischi sono collegati tra loro tramite una molla di costante elastica  $k > 0$  e lunghezza a riposo nulla, e sono inoltre collegati entrambi a un punto materiale  $P$  di massa  $m$  tramite due aste omogenee identiche di lunghezza  $L$  e massa trascurabile. Sul sistema agisce la forza di gravità: sia  $g$  l'accelerazione di gravità. Si scelga un sistema di riferimento in cui il piano abbia equazione  $z = 0$  e la guida abbia equazione  $y = z = 0$  (cfr. la figura 12.23).

- (1) Si scrivano la lagrangiana del sistema e le corrispondenti equazioni di Eulero-Lagrange.
- (2) Si determinino le eventuali configurazioni di equilibrio nel sistema e se ne discuta la stabilità.
- (3) Si calcoli la forza vincolare che agisce sul punto  $P$ .
- (4) Si discuta come cambia la lagrangiana nel caso in cui le aste abbiano entrambe massa non nulla  $\mu$ .
- (5) Si determinino le configurazioni di equilibrio nel caso in cui si abbia  $\mu \neq 0$ .
- (6) Si supponga ora che si abbia  $\mu = 0$  e il piano ruoti intorno all'asse  $y$  con velocità angolare costante: si discuta l'esistenza e la stabilità di eventuali configurazioni di equilibrio relativo.

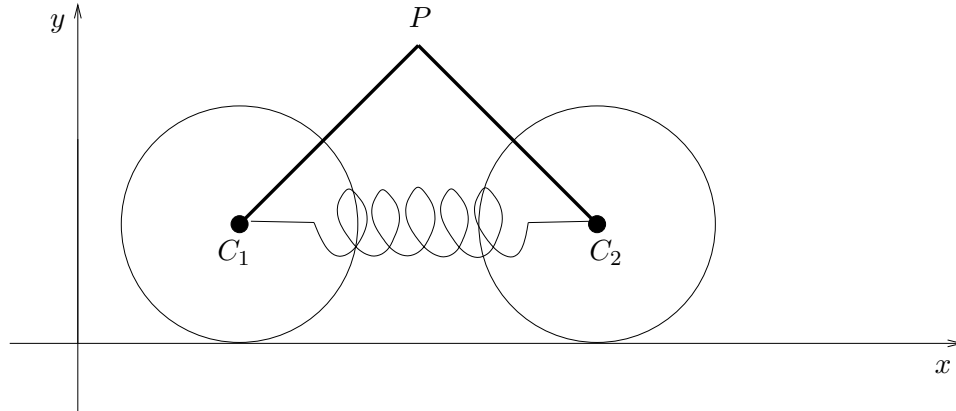


Figura 12.23: Sistema discusso nell'esercizio 38.

[Suggerimento. Siano  $C_1$  e  $C_2$  i centri dei due dischi. Come coordinate lagrangiane si possono usare l'ascissa  $x$  del punto  $P$  e l'angolo  $\theta$  che l'asta che collega i punti  $C_1$  e  $P$  forma con un asse prefissato, per esempio l'asse  $x$ . I punti  $P$ ,  $C_1$  e  $C_2$  hanno allora coordinate cartesiane

$$P = (x, r + L \sin \theta), \quad C_1 = (x - L \cos \theta, r), \quad C_2 = (x + L \cos \theta, r).$$

L'energia cinetica e l'energia potenziale, dovuta alla molle e alla forza di gravità che agisce sul punto  $P$ , sono, rispettivamente,

$$T = \frac{3}{2}M(\dot{x}^2 + L^2 \sin^2 \theta \dot{\theta}^2) + \frac{1}{2}m(\dot{x}^2 + L^2 \cos^2 \theta \dot{\theta}^2), \quad V = mgL \sin \theta + 2kL^2 \cos^2 \theta,$$

dove si è tenuto conto che  $I_3 = Mr^2/2$  è il momento d'inerzia di ciascun disco rispetto al proprio asse (cfr. il §45.3) e che, dal momento che i dischi rotolano senza strisciare, se  $\varphi_1$  e  $\varphi_2$  indicano gli angoli di rotazione, rispettivamente, del disco di centro  $C_1$  e di quello di centro  $C_2$  rispetto a una direzione prefissata, si ha  $r\dot{\varphi}_1 = \dot{x} + L \sin \theta \dot{\theta}$  e  $r\dot{\varphi}_2 = \dot{x} - L \sin \theta \dot{\theta}$ ; i termini costanti di  $V$  sono stati scartati. La lagrangiana è  $\mathcal{L} = T - V$ , e le equazioni di Eulero Lagrange sono

$$\begin{cases} 3M\ddot{x} + m\ddot{x} = 0, \\ 3ML^2(\sin^2 \theta \ddot{\theta} + \sin \theta \cos \theta \dot{\theta}^2) + mL^2(\cos^2 \theta \ddot{\theta} - \sin \theta \cos \theta \dot{\theta}^2) + mgL \cos \theta - 4kL^2 \sin \theta \cos \theta = 0. \end{cases}$$

I punti stazionari di  $V$  si ottengono richiedendo  $\cos \theta = 0$  oppure, se  $\alpha < 1$ , se  $\sin \theta = \alpha := mg/4kL$ . Quindi le configurazioni di equilibrio sono:  $\theta = \pi/2$ , che è stabile se  $\alpha < 1$  e instabile se  $\alpha > 1$ ;  $\theta = -\pi/2$ , che è stabile per ogni valore di  $\alpha > 0$ ;  $\theta = \theta_0$  e  $\theta = \pi - \theta_0$ , dove  $\theta_0 := \arcsin \alpha$ , che sono instabili quando esistono. Il caso  $\alpha = 1$  va trattato a parte: scrivendo  $\theta = \pi/2 + \varphi$ , si ha

$$\begin{aligned} V &= 4kL^2 \left( \sin(\pi/2 + \varphi) + \frac{1}{2} \cos(\pi/2 + \varphi) \right) = 4kL^2 \left( \cos \varphi + \frac{1}{2} \sin^2 \varphi \right) \\ &= 4kL^2 \left( 1 - \frac{1}{2} \varphi^2 + \frac{1}{24} \varphi^4 + \frac{1}{2} \varphi^2 - \frac{1}{6} \varphi^4 + o(\varphi^4) \right) = 4kL^2 \left( 1 - \frac{1}{8} \varphi^4 + o(\varphi^4) \right), \end{aligned}$$

da cui concludiamo che  $\theta = \pi/2$  è un punto di massimo e quindi costituisce una configurazione di equilibrio instabile. Si noti che in  $\alpha = 1$  si ha una biforcazione a forcone subcritica (cfr. la terminologia introdotta nell'esempio 58.16). Per calcolare la forza vincolare  $R$  che agisce sul punto  $P$ , consideriamo l'energia potenziale in assenza di vincoli. Se  $P = (x_0, y_0)$ ,  $C_1 = (x_1, y_1)$  e  $C_2 = (x_2, y_2)$  indicano le coordinate cartesiane dei punti  $P$ ,  $C_1$  e  $C_2$  in generale, si ha  $V = mgy_0 + \dots$ , dove i termini che non sono stati scritti esplicitamente non dipendono dalle coordinate  $(x_0, y_0)$ . La forza attiva che agisce su  $P$  è quindi  $f = (0, -mg)$ . In termini delle coordinate lagrangiane si ha  $x_0 = x$  e  $y_0 = r + L \sin \theta$ , così che  $\ddot{x}_0 = \ddot{x} = 0$  e  $\ddot{y}_0 = -L \sin \theta \ddot{\theta}^2 + L \cos \theta \ddot{\theta}$ , dove  $\ddot{\theta}$  può essere scritta in termini di  $\theta$  e  $\dot{\theta}$  utilizzando le equazioni di Eulero-Lagrange:

$$\ddot{\theta} = (3ML^2 \sin^2 \theta + mL^2 \cos^2 \theta)^{-1} ((3M - m)L^2 \sin \theta \cos \theta \dot{\theta}^2 - mgL \cos \theta + 4kL^2 \sin \theta \cos \theta).$$

In conclusione la forza vincolare è  $R = (m\ddot{x}_0 - f_x, m\ddot{y}_0 - f_y) = (0, -L \sin \theta \dot{\theta}^2 + L \cos \theta \ddot{\theta} + mg)$ . Se le aste hanno entrambe massa  $\mu$ , indichiamo con

$$Q_1 = \left( x - \frac{L}{2} \cos \theta, r + \frac{L}{2} \sin \theta \right), \quad Q_2 = \left( x + \frac{L}{2} \cos \theta, r + \frac{L}{2} \sin \theta \right)$$

le coordinate cartesiane dei rispettivi centri di massa. L'energia cinetica delle due aste si calcola con il teorema di König, e si trova

$$T' = \mu \left( \dot{x}^2 + \frac{L^2}{4} \dot{\theta}^2 \right) + I_3 \dot{\theta}^2,$$

dove  $I_3 = \mu L^2/12$  è il momento d'inerzia di ciascuna delle due aste rispetto a un asse ortogonale passante per il suo centro di massa (cfr. il §45.1), così che l'energia cinetica totale è

$$T = \frac{3}{2} M (\dot{x}^2 + L^2 \sin^2 \theta \dot{\theta}^2) + \frac{1}{2} m (\dot{x}^2 + L^2 \cos^2 \theta \dot{\theta}^2) + \frac{1}{3} \mu (3\dot{x}^2 + L^2 \dot{\theta}^2).$$

L'energia potenziale, tenendo conto anche dell'energia potenziale gravitazionale delle due aste, diventa

$$V = mgL \sin \theta + 2kL^2 \cos^2 \theta + \mu gL \sin \theta,$$

al solito trascurando i contributi costanti. Lo studio delle configurazioni di equilibrio e della loro stabilità si conduce come nel caso precedente, con la semplice sostituzione  $m \mapsto m + \mu$ . Se invece si ha  $\mu = 0$  ma il piano verticale ruota intorno all'asse  $y$  con velocità angolare costante  $\omega$ , l'energia cinetica è la stessa trovata inizialmente per  $\mu = 0$ , mentre l'energia potenziale ha un contributo addizionale dovuto alla forza centrifuga che agisce sui due dischi e sul punto  $P$ . I due dischi hanno densità di massa  $\rho = M/\pi r^2$ . Per il primo disco, tenendo conto che l'elemento infinitesimo di massa  $dm(x) = \rho r' d\varphi dr'$  ha coordinate  $(x - L \cos \theta + r' \cos \varphi, r + r' \sin \varphi)$ , dove  $r' \in [0, r]$  e  $\varphi \in [0, 2\pi)$ , si ha (cfr. l'esercizio 23)

$$V_{\text{cf}}^1 = -\frac{1}{2} \frac{M}{\pi r^2} \int_0^r dr' \int_0^{2\pi} d\varphi r' \omega^2 (x - L \cos \theta + r' \cos \varphi)^2 = \text{costante} - \frac{1}{2} M \omega^2 (x - L \cos \theta)^2.$$

Analogamente per il secondo disco si trova

$$V_{\text{cf}}^2 = \text{costante} - \frac{1}{2} M \omega^2 (x + L \cos \theta)^2,$$

così che, tenendo conto anche dell'energia centrifuga del punto  $P$ , l'energia potenziale totale è

$$V = mgL \sin \theta + 2kL^2 \cos^2 \theta - M \omega^2 x^2 - M \omega^2 L^2 \cos^2 \theta - \frac{1}{2} m \omega^2 x^2,$$



avendo di nuovo ignorato i termini costanti. Le configurazioni di equilibrio  $(\theta, x)$  si trovano richiedendo

$$\frac{\partial V}{\partial \theta} = mgL \cos \theta - 2L^2(2k - M\omega^2) \sin \theta \cos \theta = 0, \quad \frac{\partial V}{\partial x} = -(2M + m)\omega^2 x = 0.$$

Quindi ha  $x = 0$ , mentre  $\theta$  deve soddisfare o l'equazione  $\cos \theta = 0$  oppure  $\sin \theta = \beta$ , dove  $\beta := mg/2L(2k - M\omega^2)$ , purché  $2k \neq M\omega^2$  e  $|\beta| < 1$ . Le configurazioni di equilibrio  $(x, \theta)$  sono quindi  $(0, \pi/2)$ ,  $(0, -\pi/2)$ ,  $(0, \theta_0)$  e  $(0, \pi - \theta_0)$ , dove  $\theta_0 := \arcsin \beta$ . Si noti che  $V$  è la somma di due funzioni, di cui una dipende solo da  $\theta$  e una solo da  $x$ ; la funzione che dipende solo da  $x$  ha in  $x = 0$  un massimo: questo basta per dedurre che la configurazione di equilibrio è instabile (cfr. l'osservazione 58.14). ]

**Esercizio 39** Si consideri il sistema lagrangiano costituito da un disco omogeneo  $D$ , di massa  $M = 1$  e raggio  $r = 1$ , e da un punto materiale  $P$ , di massa  $m = 1$ . Il punto e il disco sono entrambi vincolati a muoversi in un piano verticale, che identificheremo con il piano  $(x, y)$ , in modo tale che il disco rotoli senza strisciare lungo l'asse  $x$  e il punto scorra lungo l'asse  $y$ . Il centro  $O$  del disco è collegato con il punto  $P$  tramite una molla di costante elastica  $k > 0$  e lunghezza a riposo nulla. Sia  $g$  l'accelerazione di gravità (cfr. la figura 12.24).

- (1) Si scrivano la lagrangiana del sistema e le corrispondenti equazioni di Eulero-Lagrange.
- (2) Si determinino le eventuali configurazioni di equilibrio nel sistema e se ne discuta la stabilità.
- (3) Si supponga ora che il piano  $(x, y)$  ruoti intorno all'asse  $y$  con velocità angolare costante  $\omega$ : si discuta come cambiano le equazioni del moto.
- (4) Sotto le ipotesi del punto (3) si determinino le eventuali nuove configurazioni di equilibrio.

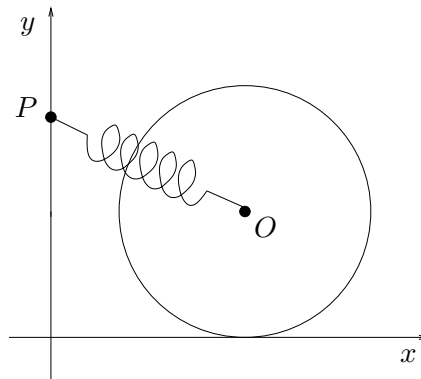


Figura 12.24: Sistema discusso nell'esercizio 39.

**Esercizio 40** Si consideri il sistema lagrangiano che differisce da quello dell'esercizio 39 in quanto

- (1) il disco rotola senza strisciare lungo una circonferenza di raggio  $R > 1$  e centro  $C = (0, R)$ ;
- (2) il disco rotola senza strisciare lungo una guida di equazione  $y = \alpha x^2$ , con  $\alpha \in (0, 1/2)$

In entrambi i casi si risponda alle stesse domande dell'esercizio 39 nel caso in cui il piano non ruoti. [Suggerimento. Nel caso (1) si ragiona come nel caso del cilindro dell'esempio 53.8: se  $\theta$  denota l'angolo di cui ruota il disco e  $\varphi$  è l'angolo che la linea che unisce il centro del disco al centro  $C$  della circonferenza forma con la verticale discendente, la velocità  $v_O$  del centro di massa è legata alla variazione di  $\theta$  e alla

variazione di  $\varphi$  dalla relazione  $v_O = r\dot{\theta} = (R - r)\dot{\varphi}$ , dove  $r = 1$ . Nel caso (2) il centro di massa  $O$  del disco ha coordinate  $q_O = (x - r \sin \varphi, \alpha x^2 + r \cos \varphi)$ , dove  $r = 1$ ,  $x$  è l'ascissa del punto di contatto del disco con la guida e l'angolo  $\varphi$  è tale che  $\tan \varphi = 2\alpha x$ ; utilizzando le identità trigonometriche

$$\sin \varphi = \frac{\tan \varphi}{\sqrt{1 + \tan^2 \varphi}}, \quad \cos \varphi = \frac{1}{\sqrt{1 + \tan^2 \varphi}},$$

si trova

$$q_O = \left( x - \frac{2\alpha x}{\sqrt{1 + 4\alpha^2 x^2}}, \alpha x^2 + \frac{1}{\sqrt{1 + 4\alpha^2 x^2}} \right) \implies \dot{q}_O = \left( 1 - \frac{2\alpha}{(1 + 4\alpha^2 x^2)^{3/2}} \right) (1, 2\alpha x) \dot{x}.$$

Si tiene conto del vincolo di rotolamento senza strisciamento imponendo che la velocità del centro di massa sia uguale a  $r\dot{\theta}$ , dove  $r = 1$  e  $\dot{\theta}$  è la velocità con cui il disco ruota intorno al proprio asse:

$$v_O = a(x) \dot{x} = \dot{\theta}, \quad a(x) := \left( 1 - \frac{2\alpha}{(1 + 4\alpha^2 x^2)^{3/2}} \right) \sqrt{1 + 4\alpha^2 x^2} = \sqrt{1 + 4\alpha^2 x^2} - \frac{2\alpha}{1 + 4\alpha^2 x^2}.$$

Usando come coordinate lagrangiane la variabile  $x$  e l'ordinata  $y$  del punto  $P$ , si trova che

$$T = \frac{1}{2} a^2(x) \dot{x}^2 + \frac{1}{2} I_3 \dot{\theta}^2 + \frac{1}{2} \dot{y}^2 = \frac{3}{4} a^2(x) \dot{x}^2 + \frac{1}{2} \dot{y}^2$$

è l'energia cinetica, mentre l'energia potenziale è data da

$$V = gy + g \left( \alpha x^2 + \frac{1}{\sqrt{1 + 4\alpha^2 x^2}} \right) + \frac{1}{2} k \left( \left( x - \frac{2\alpha x}{\sqrt{1 + 4\alpha^2 x^2}} \right)^2 + \left( \alpha x^2 + \frac{1}{\sqrt{1 + 4\alpha^2 x^2}} - y \right)^2 \right).$$

Per studiare le configurazioni di equilibrio, conviene definire  $u := y - \alpha x^2 - 1/(1 + 4\alpha^2 x^2)^{1/2}$  ed esprimere  $V$  in termini di  $x$  e  $u$ ; si trova  $V = V_1 + V_2$ , dove

$$V_1 := gu + \frac{1}{2} k u^2, \quad V_2 := 2g \left( \alpha x^2 + \frac{1}{\sqrt{1 + 4\alpha^2 x^2}} \right) + \frac{1}{2} k \left( x - \frac{2\alpha x}{\sqrt{1 + 4\alpha^2 x^2}} \right)^2.$$

Si vede subito che  $u = u_0 := -g/k$  è un punto di minimo isolato per  $V_1$ . Si verifica poi che

$$V_2'(x) = \frac{dV_2}{dx}(x) = x \left( k + 4\alpha g + \frac{4\alpha^2 k}{(1 + 4\alpha^2 x^2)^2} - \frac{8\alpha^2 g + 4\alpha k + 8\alpha^3 k x^2}{(1 + 4\alpha^2 x^2)^{3/2}} \right)$$

si annulla se e solo se  $x = 0$  se  $\alpha < 1/2$ . Infatti, per  $\alpha \in (0, 1/2)$ , si ha

$$(1 + 4\alpha^2 x^2)^{3/2} 4\alpha g \geq 4\alpha g \geq 8\alpha^2 g, \\ (1 + 4\alpha^2 x^2)^2 k + 4\alpha^2 k \geq (4\alpha k + 8\alpha^3 k x^2) (1 + 2\alpha^2 x^2) \geq (4\alpha k + 8\alpha^3 k x^2) (1 + 4\alpha^2 x^2)^{1/2},$$

dove si è usato che  $1 + x/2 \geq (1 + x)^{1/2} \forall x \geq -1$ ; inoltre risulta  $V_2''(0) = k(2\alpha - 1)^2 + 4\alpha(1 - 2\alpha)g > 0$ , da cui si evince che  $x = 0$  è un punto di minimo isolato per  $V_2$ . In conclusione  $(x, u) = (0, -g/k)$ , ovvero  $(x, y) = (0, 1 - g/k)$  in termini delle coordinate originali, è l'unica configurazione di equilibrio del sistema, ed è stabile per il teorema 58.6. Si noti che la condizione  $\alpha < 1/2$  garantisce che il disco possa rotolare senza strisciare lungo la guida parabolica.]